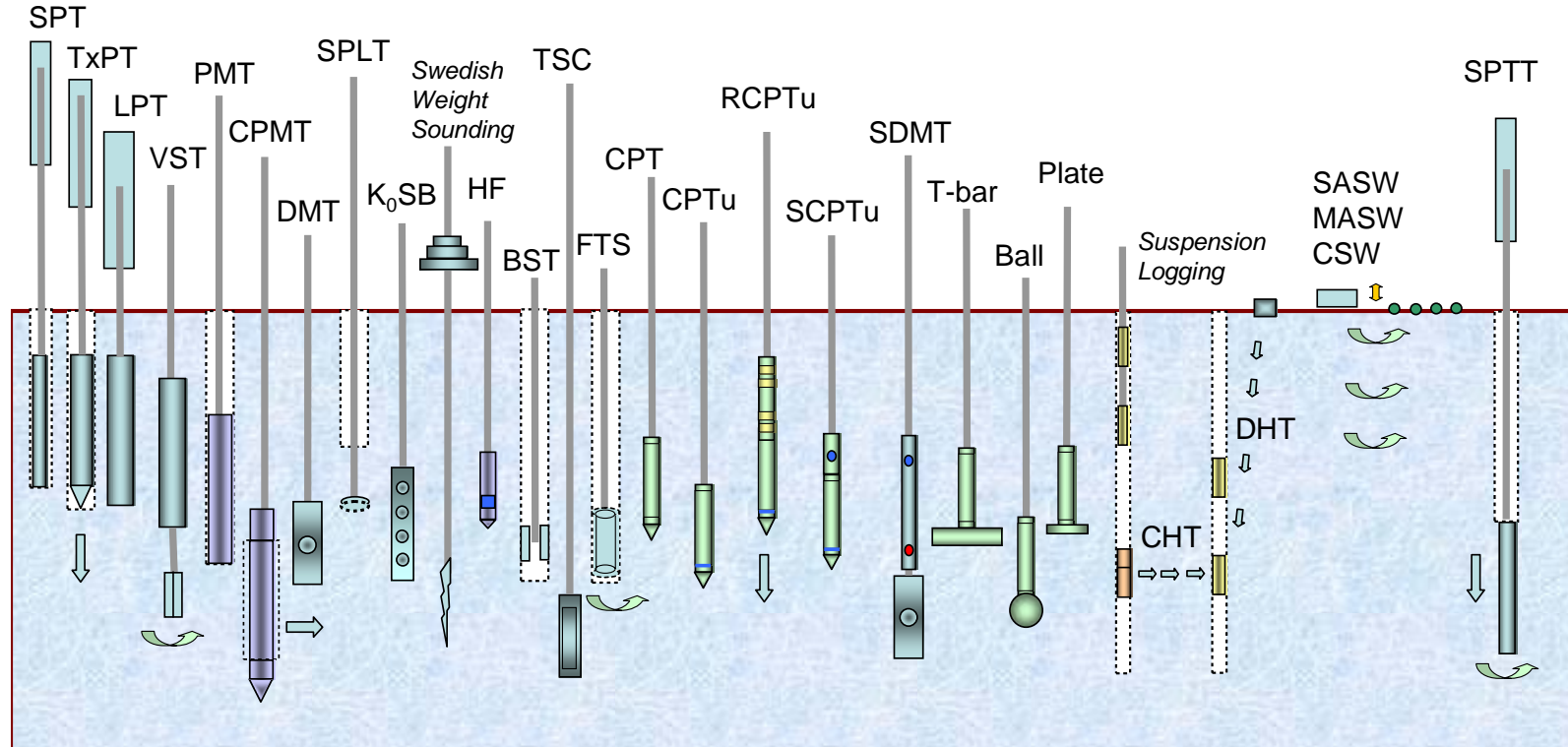


Ensayos in situ



Mecánica de Suelos y Geología

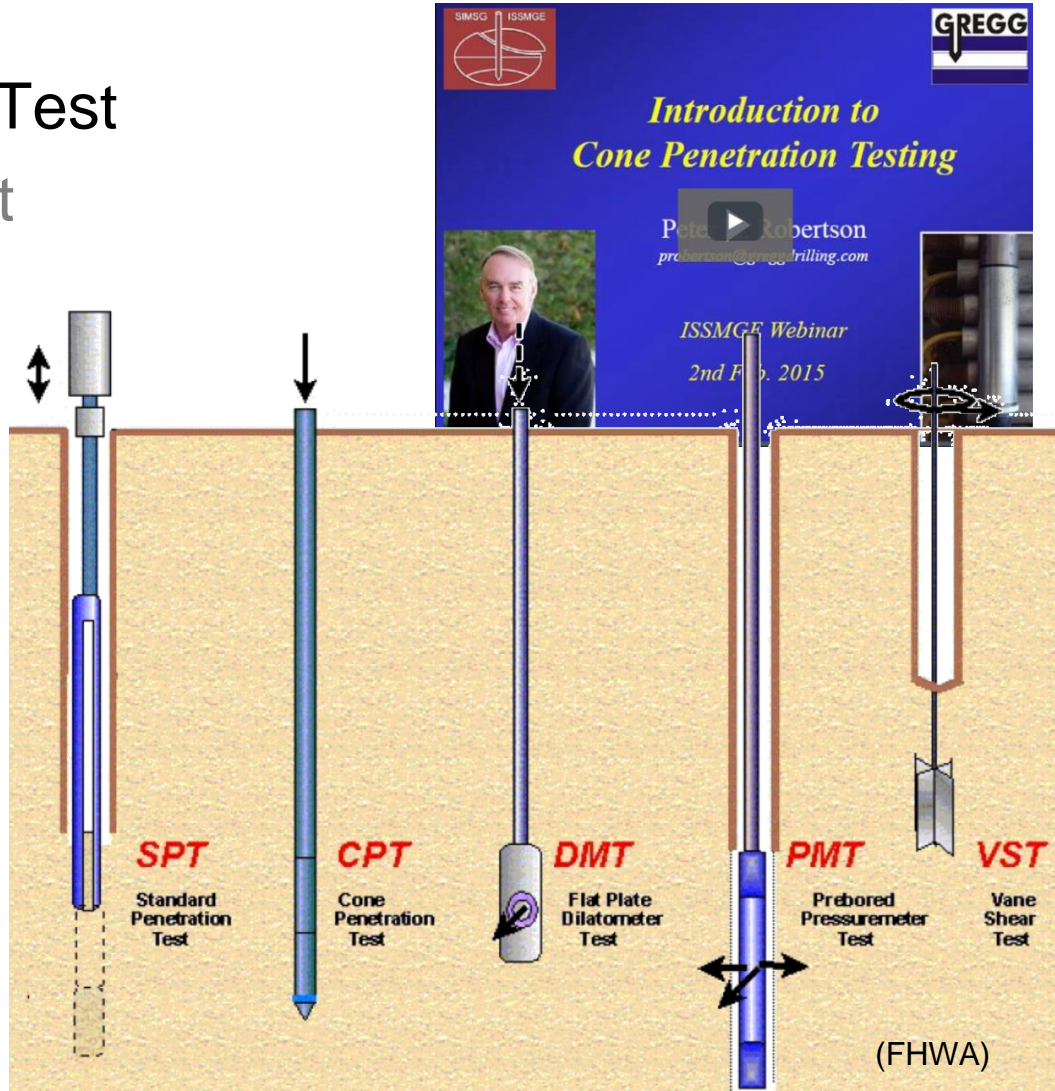
Facultad de Ingeniería, Universidad de Buenos Aires



Índice

virtualuniversity.issmge.org

- SPT: Standard Penetration Test
- CPT: Cone Penetration Test
- PMT: Pressuremeter Test
- VST: Vane Shear Test
- DMT: Dilatometer Test
- PLT: Plate Load Test
- Ensayos geofísicos



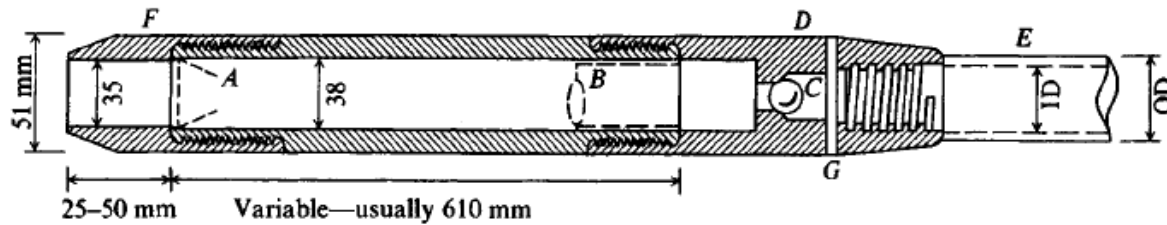
Ensayo SPT

<https://www.youtube.com/watch?v=jo64QIE4hr4>
<https://www.youtube.com/watch?v=3WEFw5K1tF8>
<https://www.youtube.com/watch?v=JVrciNqoGAQ>



Se mide la resistencia a la penetración del terreno mediante la hinca dinámica de un sacamuestras normalizado

- Se hinca 45 cm en el fondo de una perforación mediante una maza de 63.5 kg que cae desde 76 cm de altura
- Se cuenta el número de golpes para que entre los últimos 30 cm
- Se recupera una muestra (si el terreno lo permite, en general si)



A—insert if used **B**—liner if used
C—ball check valve (provide suction on sample)
D—sampler-to-drill rod coupling
E—drill rod (A or AW)
F—drive shoe **G**—vent holes (used with C)

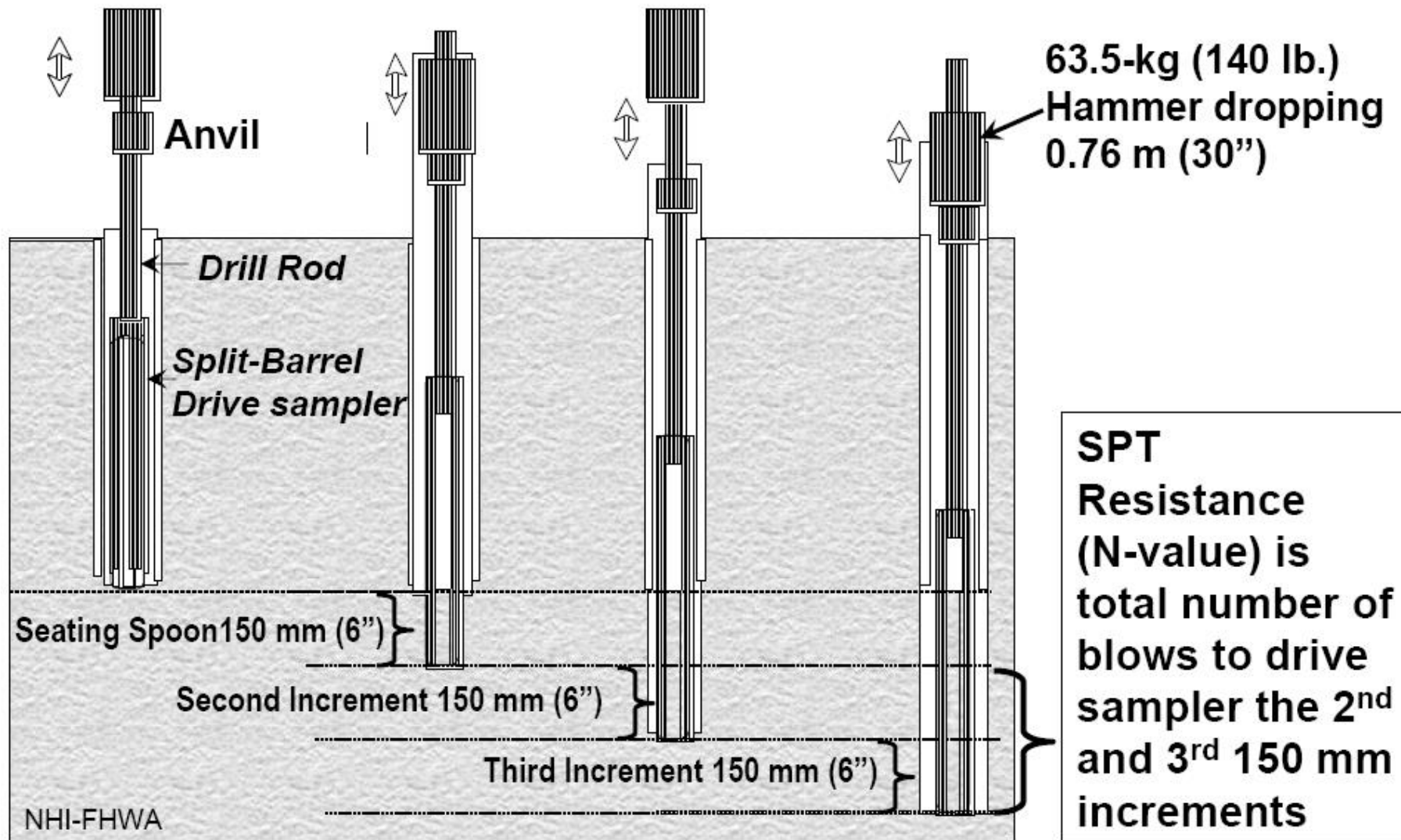
Drill rod sizes:
 A: 41 OD × 29 ID mm 5.51 kg/m
 AW: 44 OD × 32 ID mm 6.25 kg/m





Resultado del ensayo SPT (la perforación es una sola, que no confunda el dibujo)

Ensayos in situ

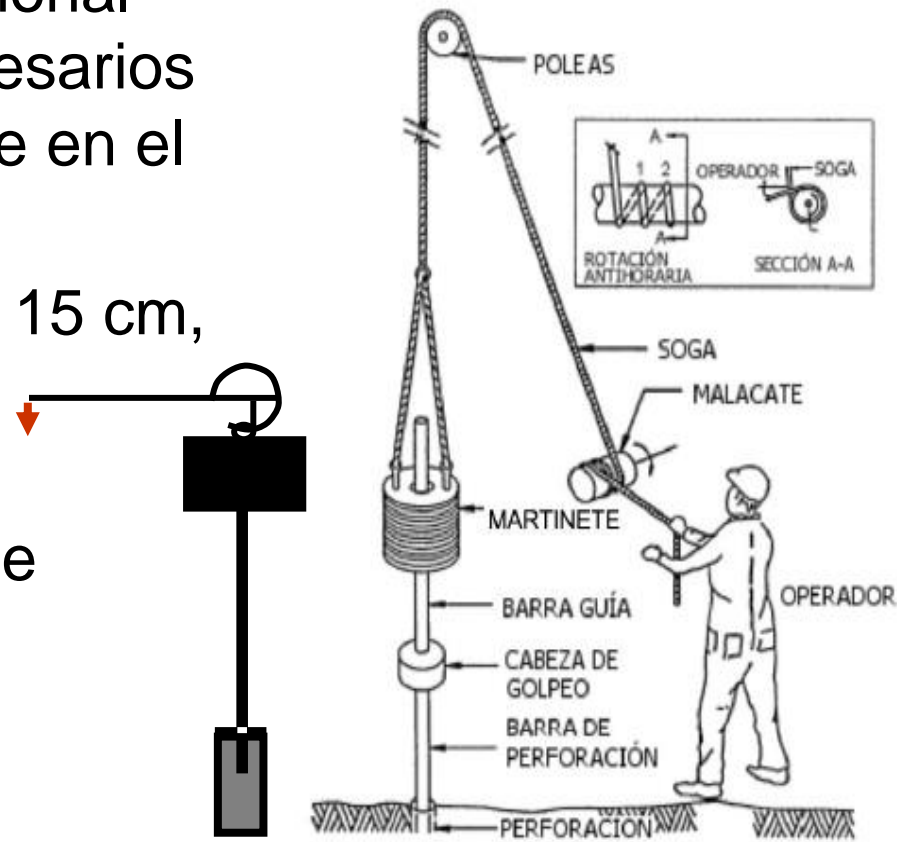




Resultado del ensayo SPT

Hay dos resultados posibles

- N_{SPT} : Un número entero adimensional igual a la cantidad de golpes necesarios para que el sacamuestras penetre en el terreno los últimos 30 cm
- Rechazo: más de 50 golpes para 15 cm, más de 100 golpes o 10 golpes sin ningún avance
 - Se informa como NN/pp , donde pp es la penetración total en centímetros para NN golpes



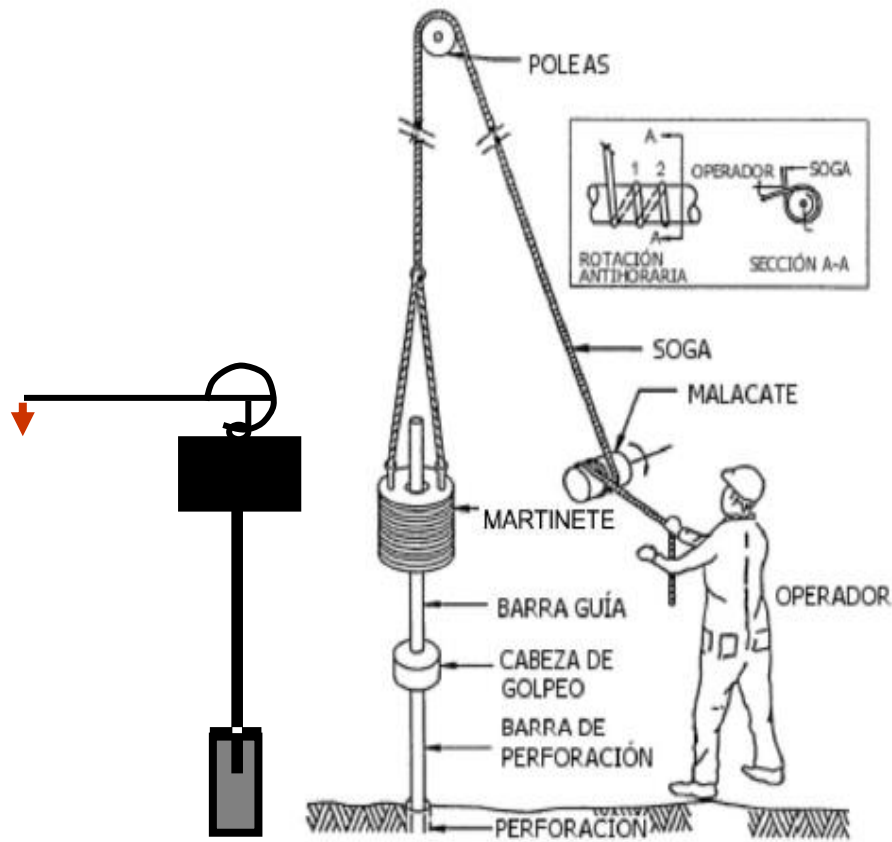


Correcciones a la medición de campo

N_{SPT} es el número medido en el terreno

Se corrige por

- Energía aplicada
- Profundidad
- Napa de agua
- Diámetro de perforación
- Peso de barras
- ...





Corrección por energía aplicada:

N_{SPT} a N_{60}

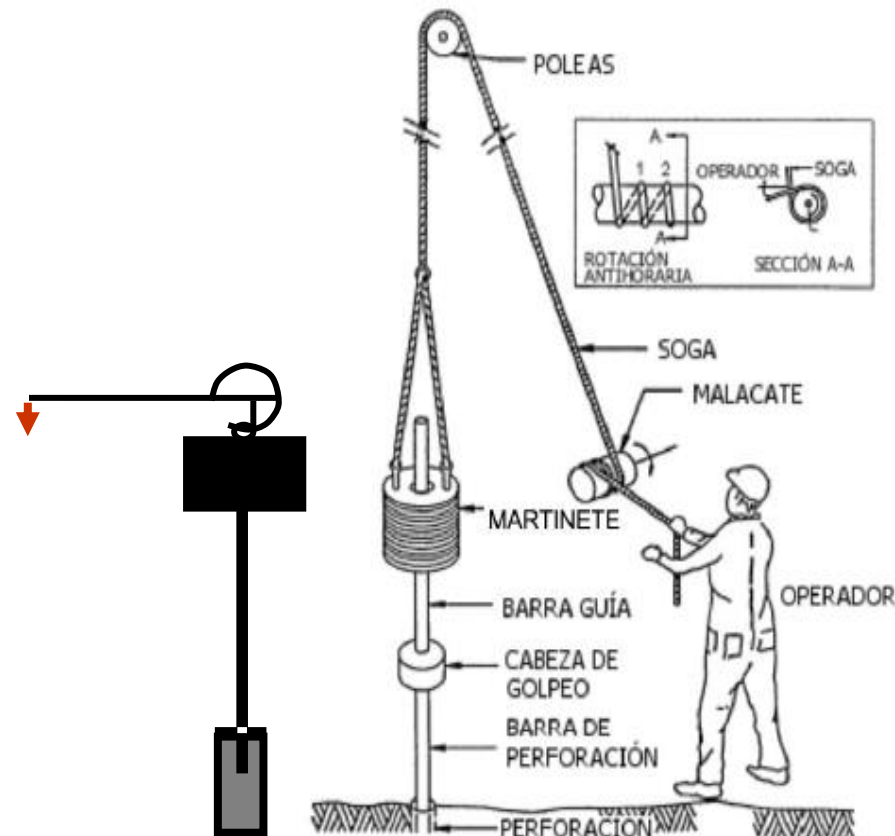
La energía potencial nominal ($W \times H$) es 475 J

La energía realmente aplicada ER varía entre el 30% y el 100% de ese valor en función del equipo y la técnica de ensayo

Se normaliza N para una eficiencia del 60%

$$N_{60} = N_{SPT} \cdot \frac{ER}{60\% \cdot 475J}$$

$ER \sim 90\% \cdot 475J$ (Leoni 2008)





Corrección por nivel de tensiones:

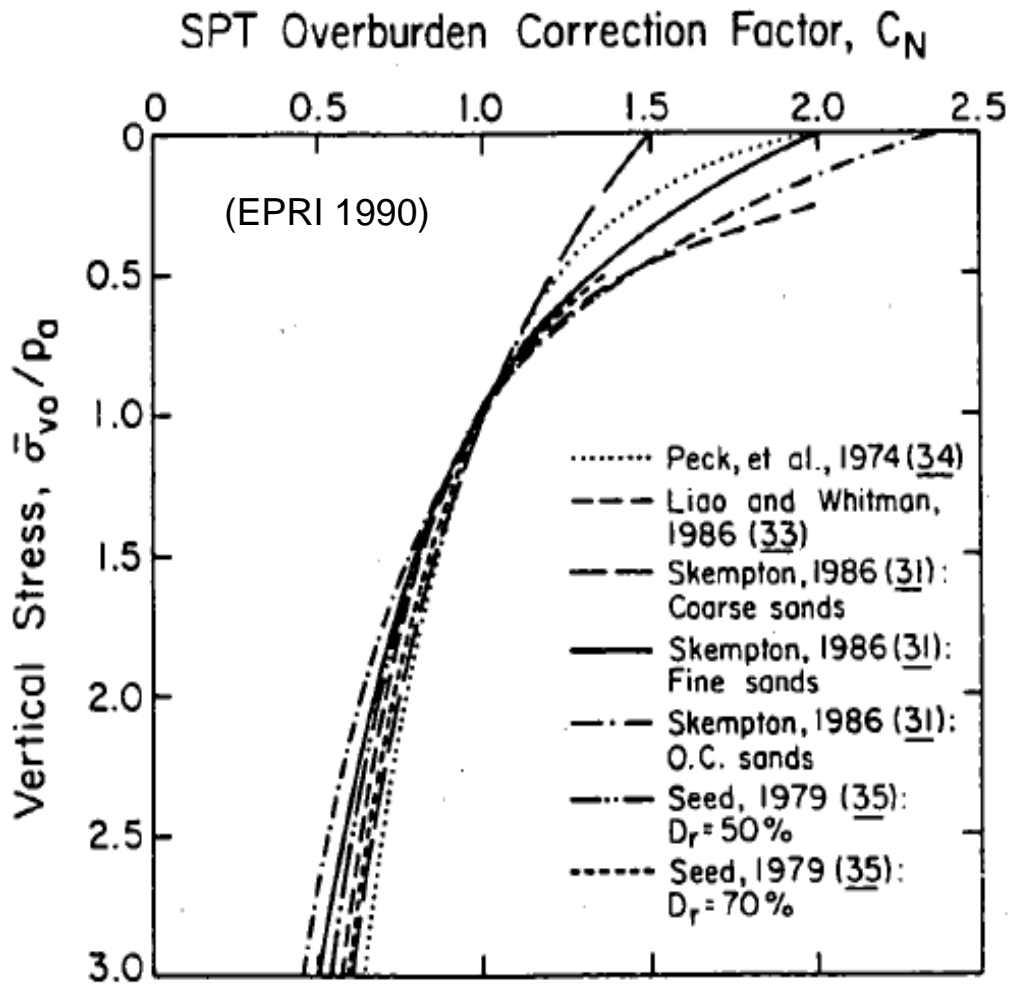
$$N_{60} \text{ a } (N_1)_{60}$$

Para un suelo uniforme, la resistencia a la penetración varía con la presión efectiva (profundidad)

- El N_1 significa 1atm=100kPa

$$(N_1)_{60} = N_{SPT} \cdot \frac{ER}{60\% \cdot 475J} \cdot C_N$$

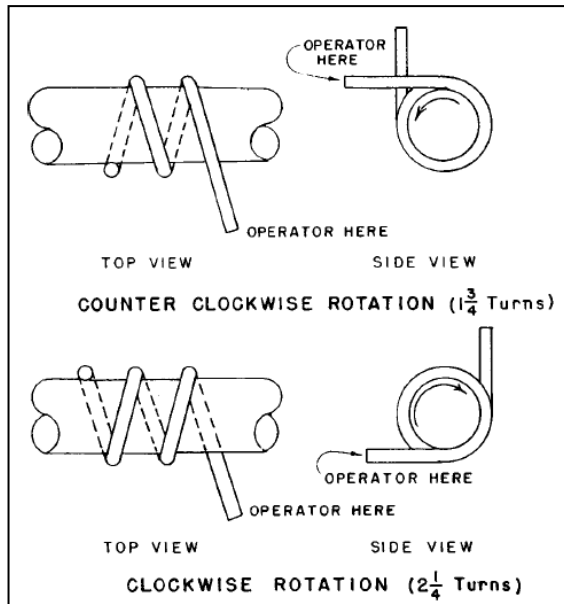
$$C_N = \sqrt{\frac{100\text{kPa}}{\sigma'_{v0}}}$$





Corrección por otros factores de ensayo

$$(N_1)_{60} = N \cdot \frac{ER}{60\% \cdot 475J} C_N \cdot C_B \cdot C_S \cdot C_R$$



Factor	Equipment Variables	Correction Term	Value
Energy ratio	Safety hammer Donut hammer	C_{ER}	0.9 0.75
Borehole diameter	65 to 115 mm (2.5 to 4.5 in) 150 mm (6 in) 200 mm (8 in)	C_B	1.0 1.05 1.15
Sampling method	Standard sampler Sampler without liner	C_S	1.0 1.2
Rod length	> 10 m (> 30 ft) 6 to 10 m (20 to 30 ft) 4 to 6 m (13 to 20 ft) 3 to 4 m (10 to 13 ft)	C_R	1.0 0.95 0.85 0.75

Source: Based on Skempton (31).



SPT y correlaciones de parámetros

El SPT es un ensayo que tiene muchas correlaciones

- Es importante saber cómo se calculó N en cada caso
 - Algunos informan el número de campo: N_{SPT}
 - Otros efectúan todas las correcciones excepto la de nivel de tensiones: N_{60}
 - Otros efectúan todas las correcciones: $(N_1)_{60}$

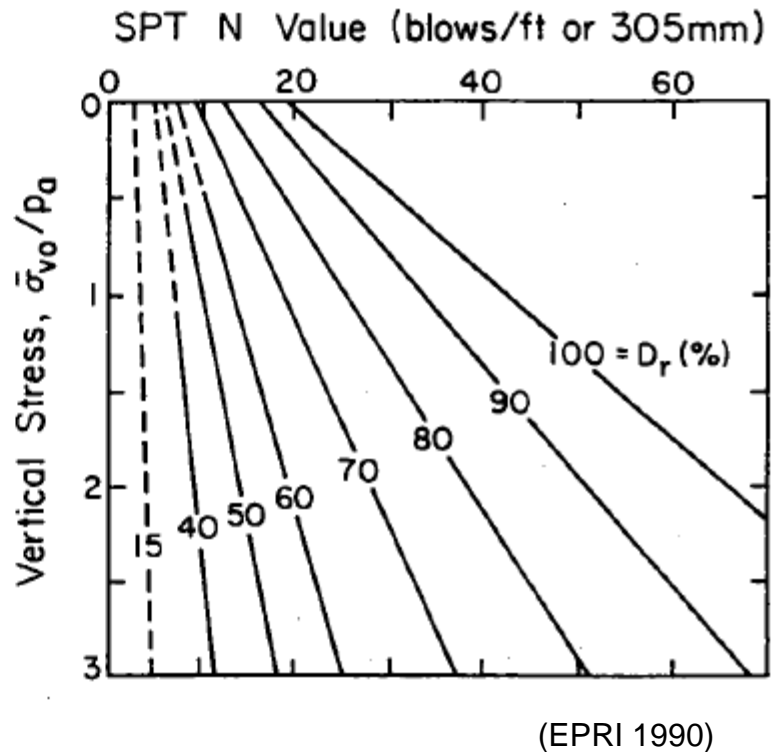
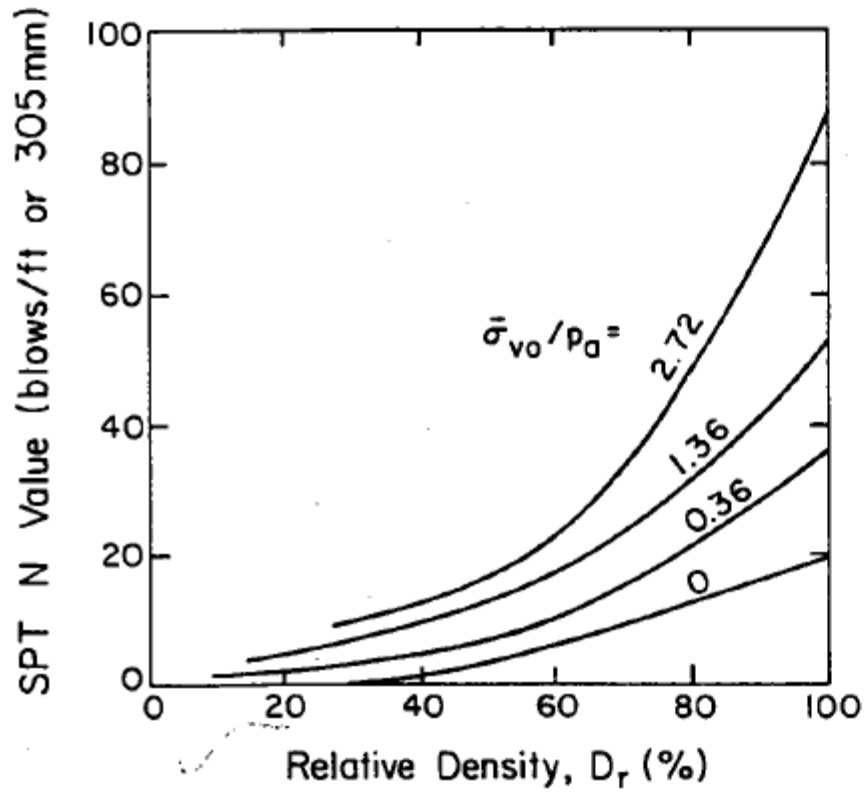
**Las correlaciones publicadas en diferentes épocas
usan diferentes definiciones de SPT**

**Las correlaciones deben ser usadas con responsabilidad y
tienen DISPERSIÓN (nube de puntos)**



Arenas: estimación de D_r

Ensayos in situ



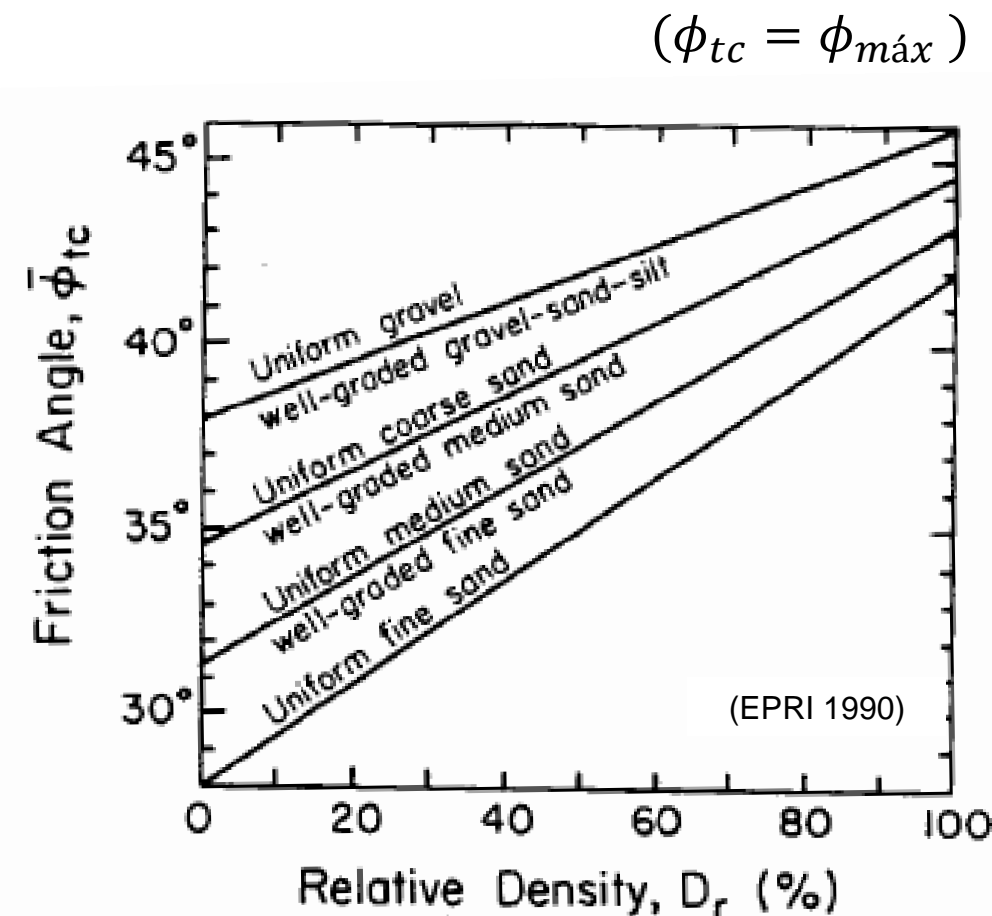
(EPRI 1990)

En estos gráficos hay que usar N_{60} , no $(N_1)_{60}$



Arenas: estimación de ϕ_{\max}

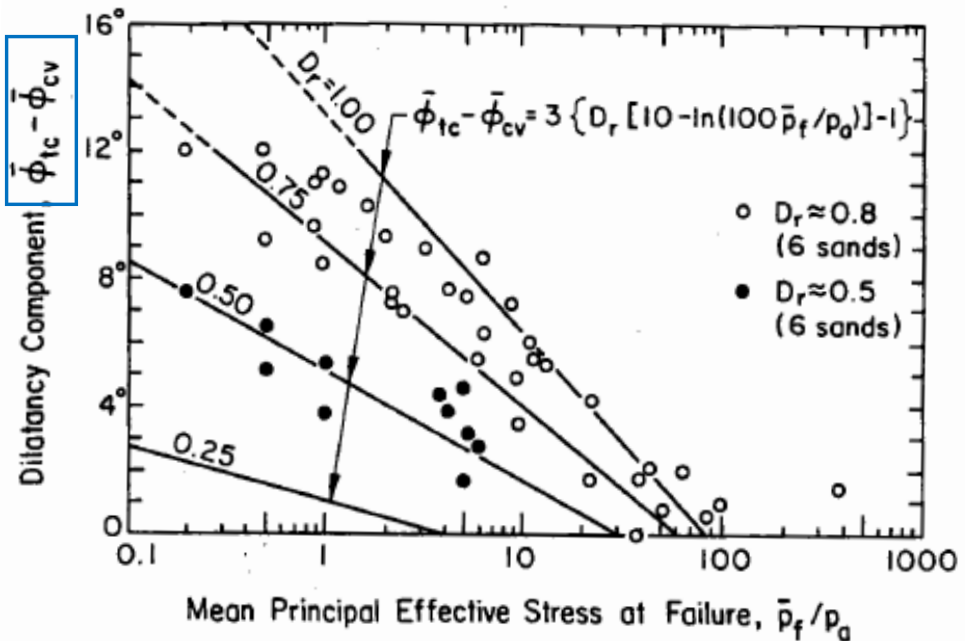
- Procedimiento 1
 - Estimación directa:
- Procedimiento 2
 - Se estima D_r con SPT
 - Se estima ϕ_{\max} con D_r y observando la muestra





Arenas: estimación de ϕ_{\max}

- Procedimiento 3 (recomendado)
 - Se estima D_r a partir del resultado de SPT
 - Se observa la muestra y se estima ϕ_{cv} (estado crítico)
 - Se aplica la ecuación de Bolton: $\phi_{\max}[p, D_r]$



$$\phi_{\max} - \phi_{cv} = 3^\circ D_r \left(Q - \ln \left[\frac{100 p}{p_{atm}} \right] \right) - 3^\circ$$

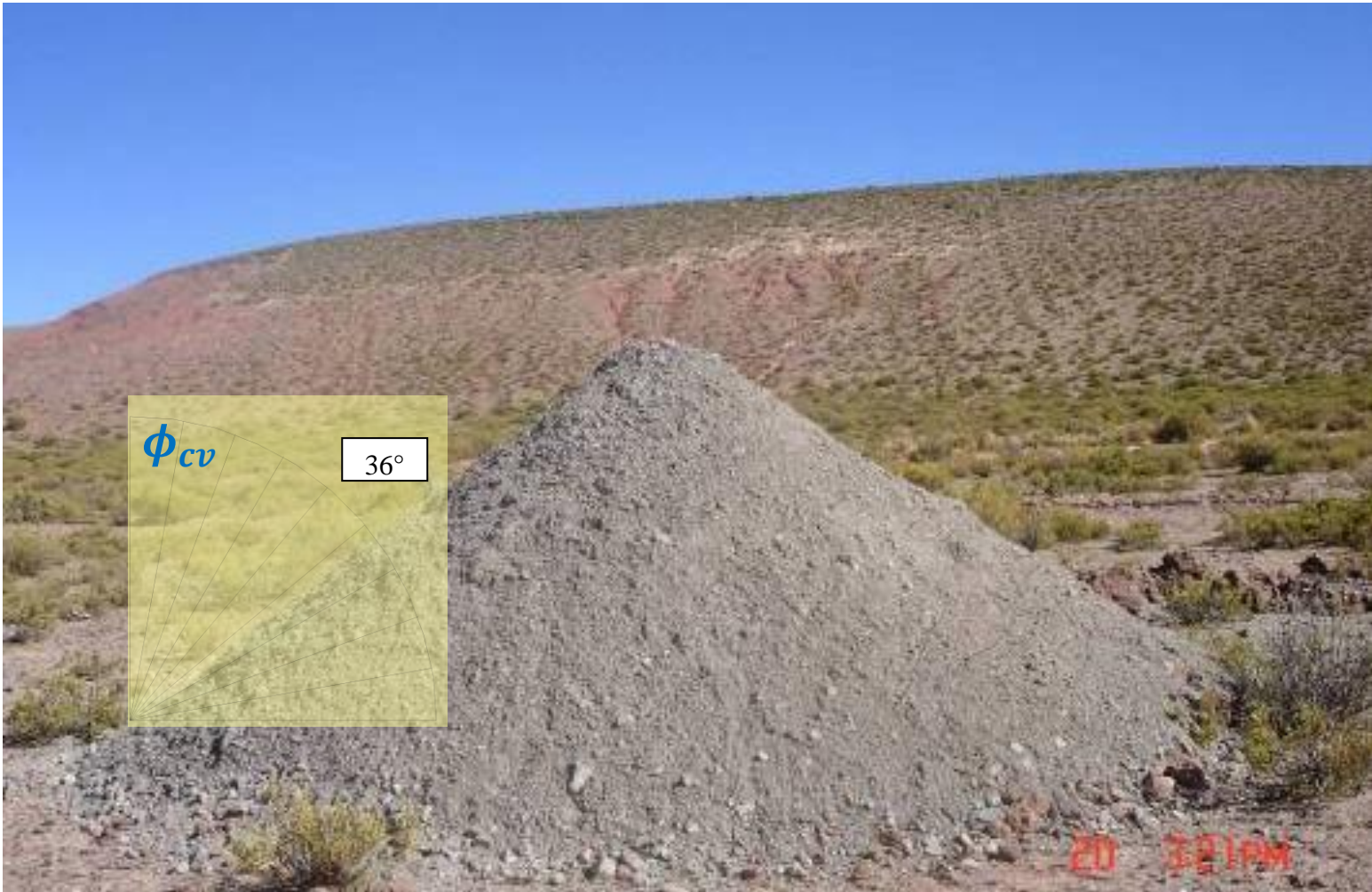
Q	Grain type
10	Quartz and feldspar
8	Limestone
7	Anthracite
5.5	Chalk

(Bolton 1986)



Arenas: estimación de ϕ_{\max}

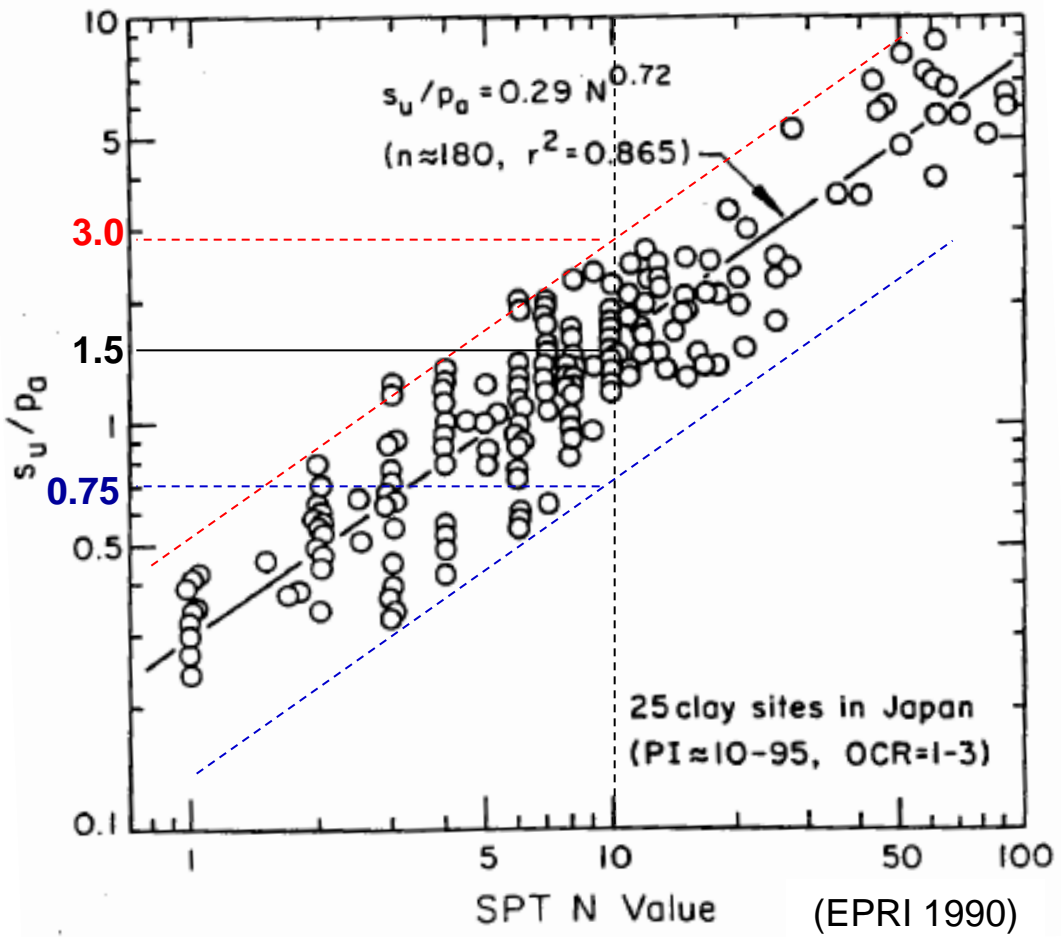
Procedimiento 3



Arcillas: Estimación de s_u



La correlación
 $s_u - (N_1)_{60}$ es débil



$$s_u \cong 7(N_1)_{60} \text{ kPa}$$

$$\frac{s_u}{p_{atm}} = 0.29(N_1)_{60}^{0.72}$$



Mayne: Is One Number Enough???

c_u = undrained strength

γ_T = unit weight

I_R = rigidity index

ϕ' = friction angle

OCR = overconsolidation

K_0 = lateral stress state

e_o = void ratio

V_s = shear wave

E' = Young's modulus

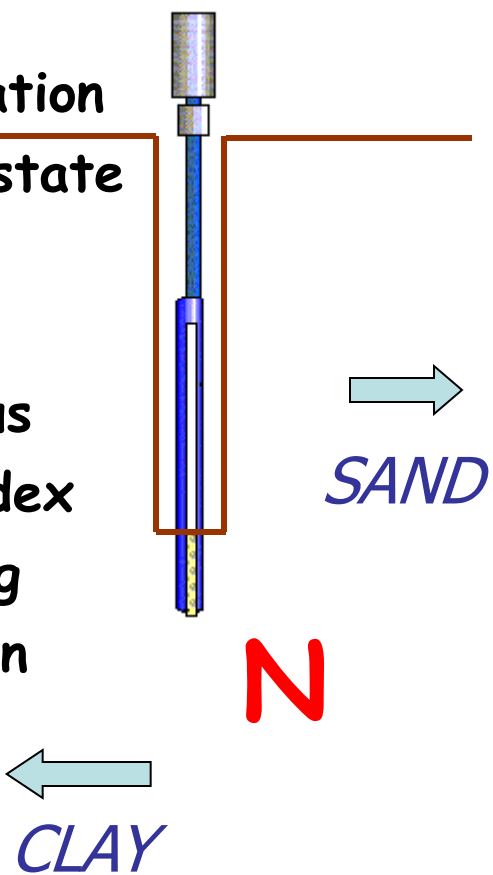
C_c = compression index

q_b = pile end bearing

f_s = pile skin friction

k = permeability

q_a = bearing stress



D_R = relative density

γ_T = unit weight

LI = liquefaction index

ϕ' = friction angle

c' = cohesion intercept

e_o = void ratio

q_a = bearing capacity

σ_p' = preconsolidation

V_s = shear wave

E' = Young's modulus

Ψ = dilatancy angle

q_b = pile end bearing

f_s = pile skin friction

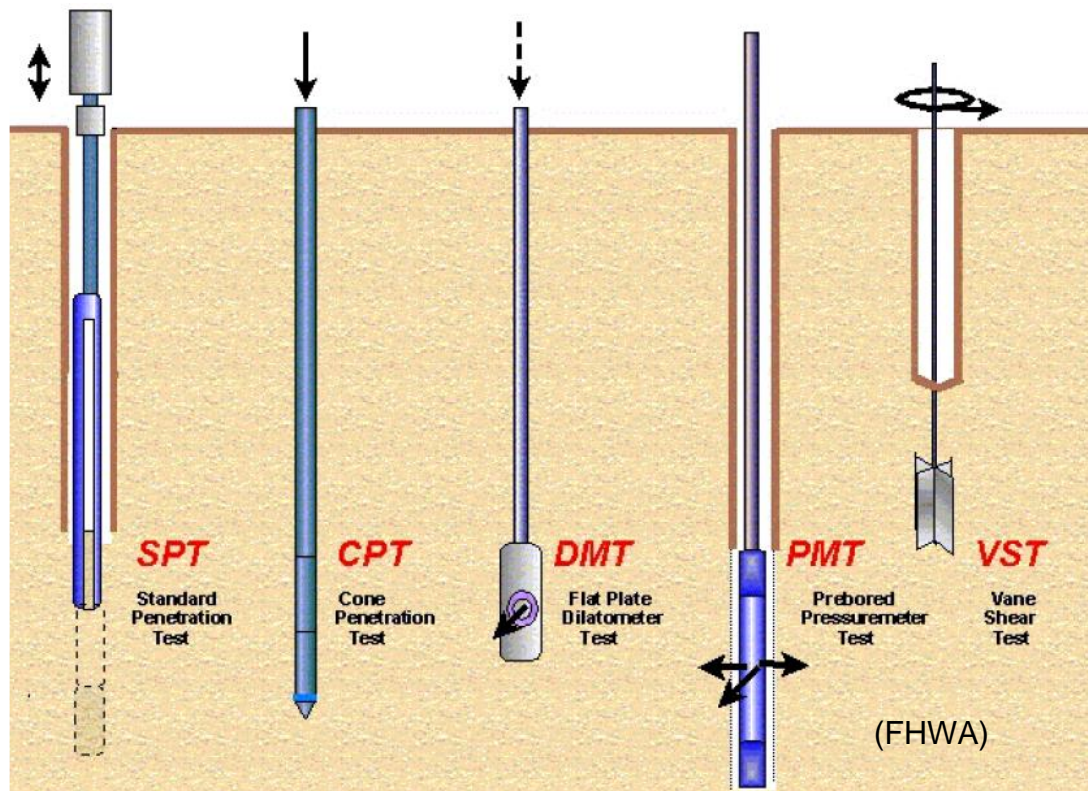
(Mayne 2001)



Índice

Ensayos in situ

- SPT: Standard Penetration Test
- CPT: Cone Penetration Test
- PMT: Pressuremeter Test
- VST: Vane Shear Test
- DMT: Dilatometer Test
- PLT: Plate Load Test
- Ensayos geofísicos



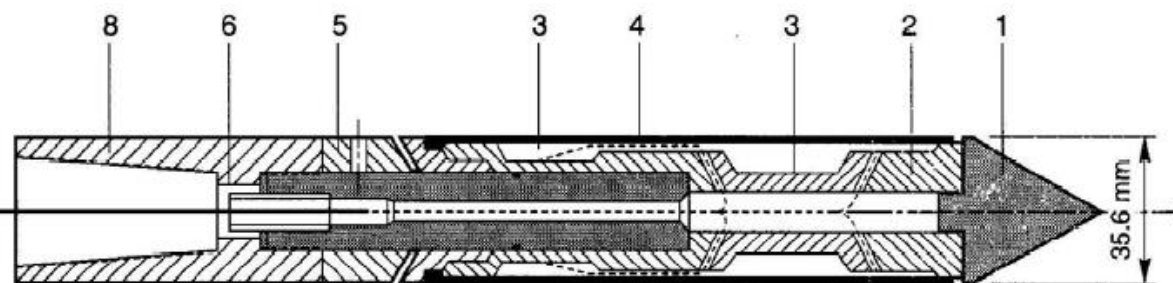


Descripción del ensayo CPTu

<https://www.youtube.com/watch?v=Cvu9iBSnQYo>
<https://www.youtube.com/watch?v=4SKjkOqaMk8>
<https://www.youtube.com/watch?v=WBeHGNa4-VU>

Se mide cada 2cm de avance y mediante la hincia estática de un cilindro instrumentado con punta cónica los siguientes parámetros:

- Punta (q_t)
- Fricción (f_s)
- Presión de poros (u)



1 Conical point (10 cm^2)

2 Load cell

3 Strain gauges

4 Friction sleeve

5 Adjustment ring

6 Waterproof bushing

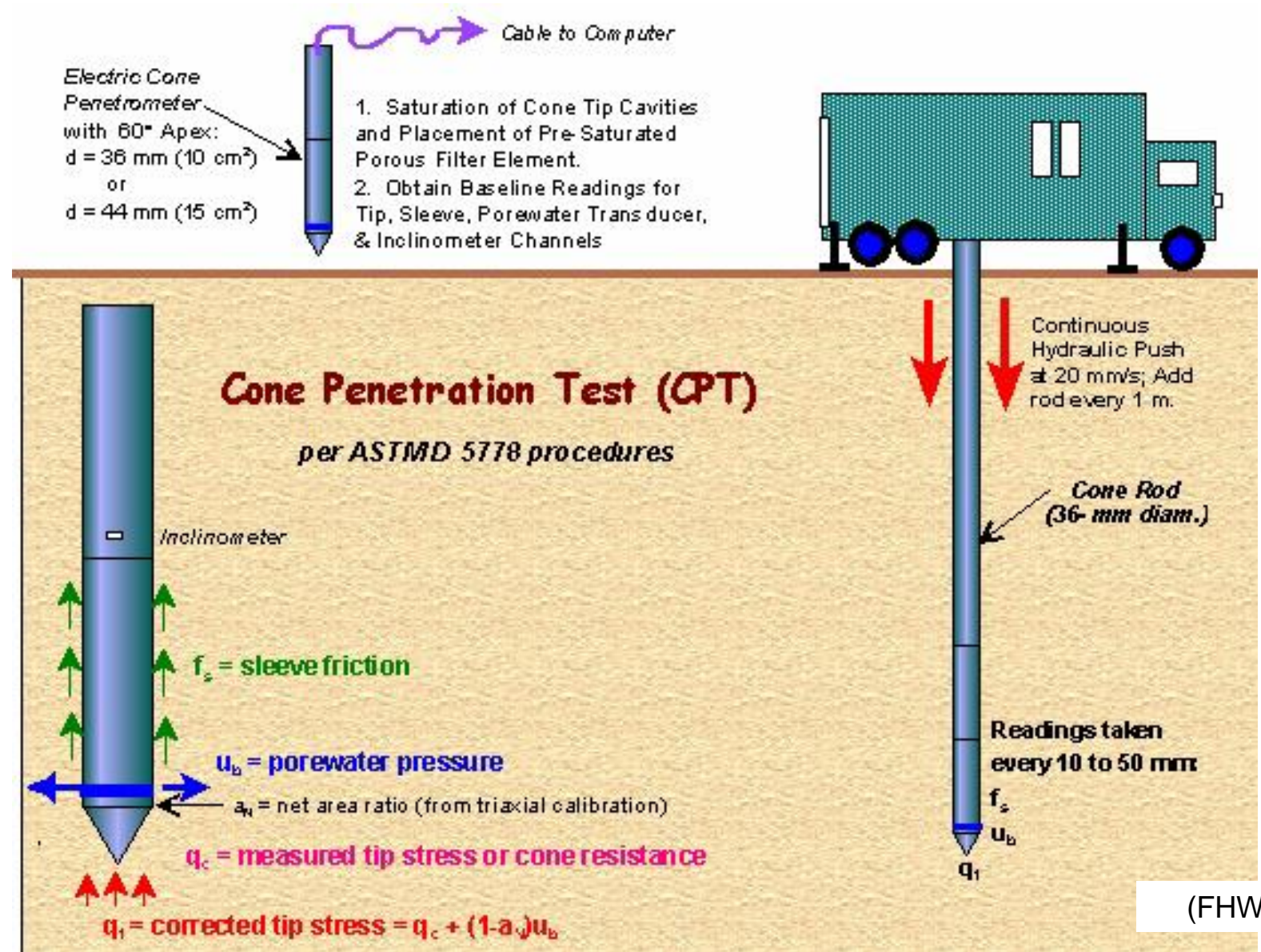
7 Cable

8 Connection with rods (Lunne et al. 1997)





Descripción del ensayo CPTu

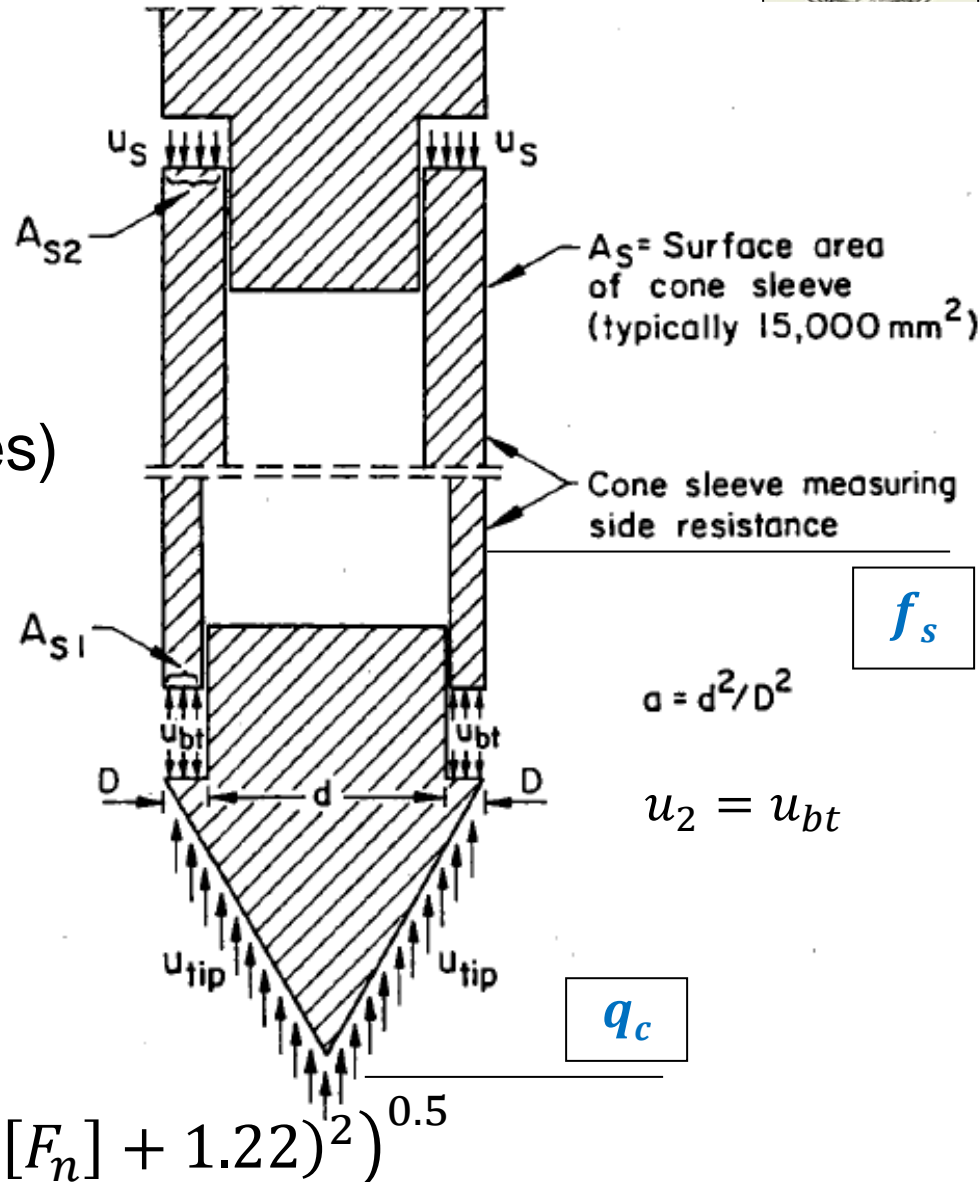


(FHWA)



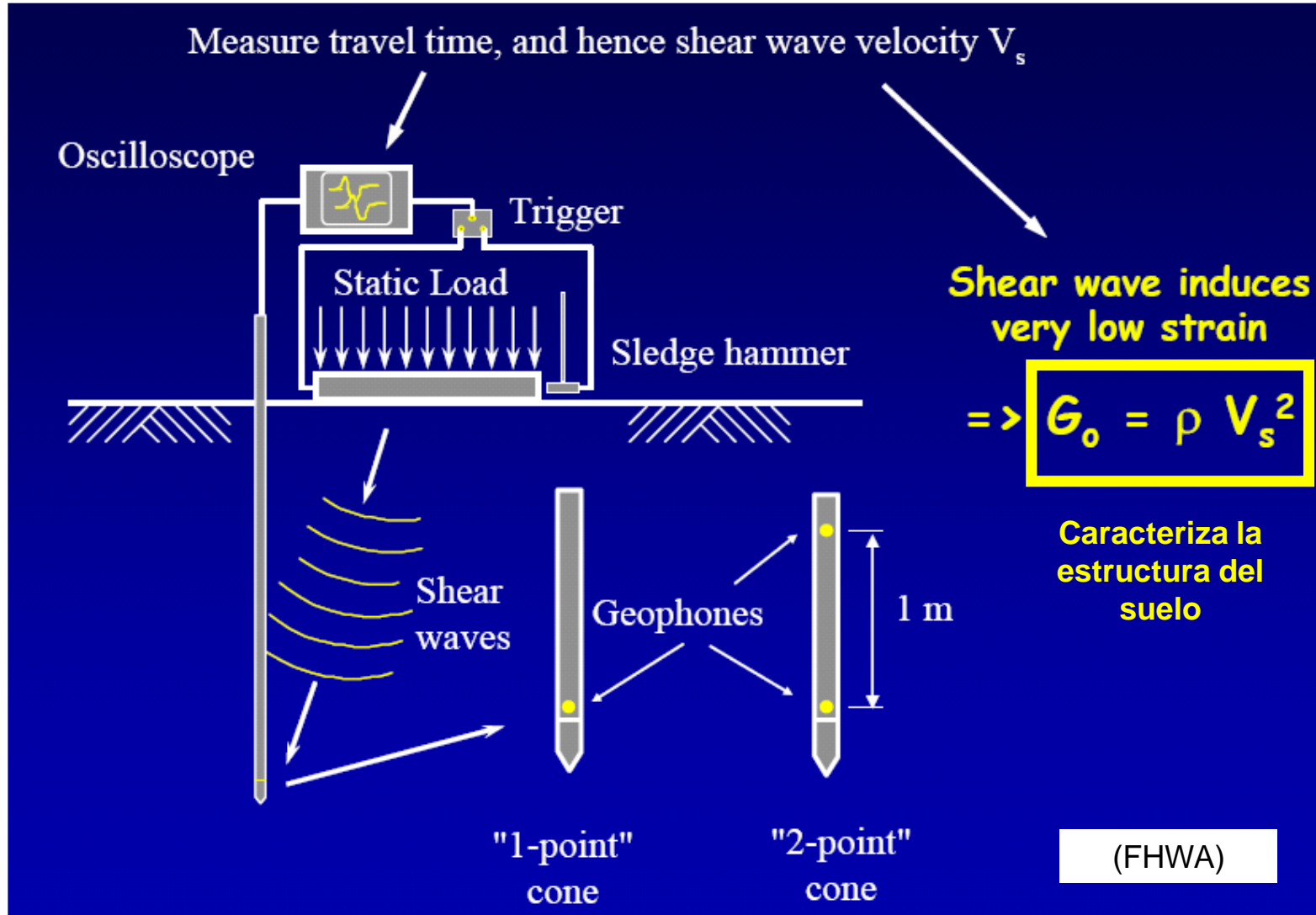
Definiciones

- $q_t = q_c + (1 - a)u_{bt}$
- $q_n = q_t - \sigma_v$
- $Q_t = q_n/\sigma'_v$ (hay otras versiones)
- $f_t = f_s + \frac{u_s A_{s2} - u_{bt} A_{s1}}{A_s}$
- $F_r = f_s/q_n$
- $B_q = (u_{bt} - u_0)/q_n = \Delta u/q_n$
- u_0 : ensayos de disipación o piezómetros (no asuma distribución hidrostática)
- $I_c = ((3.47 - \log(Q_{tn}))^2 + (\log[F_n] + 1.22)^2)^{0.5}$





S-CPT: CPT más velocidad de onda de corte V_s (ensayo geofísico)

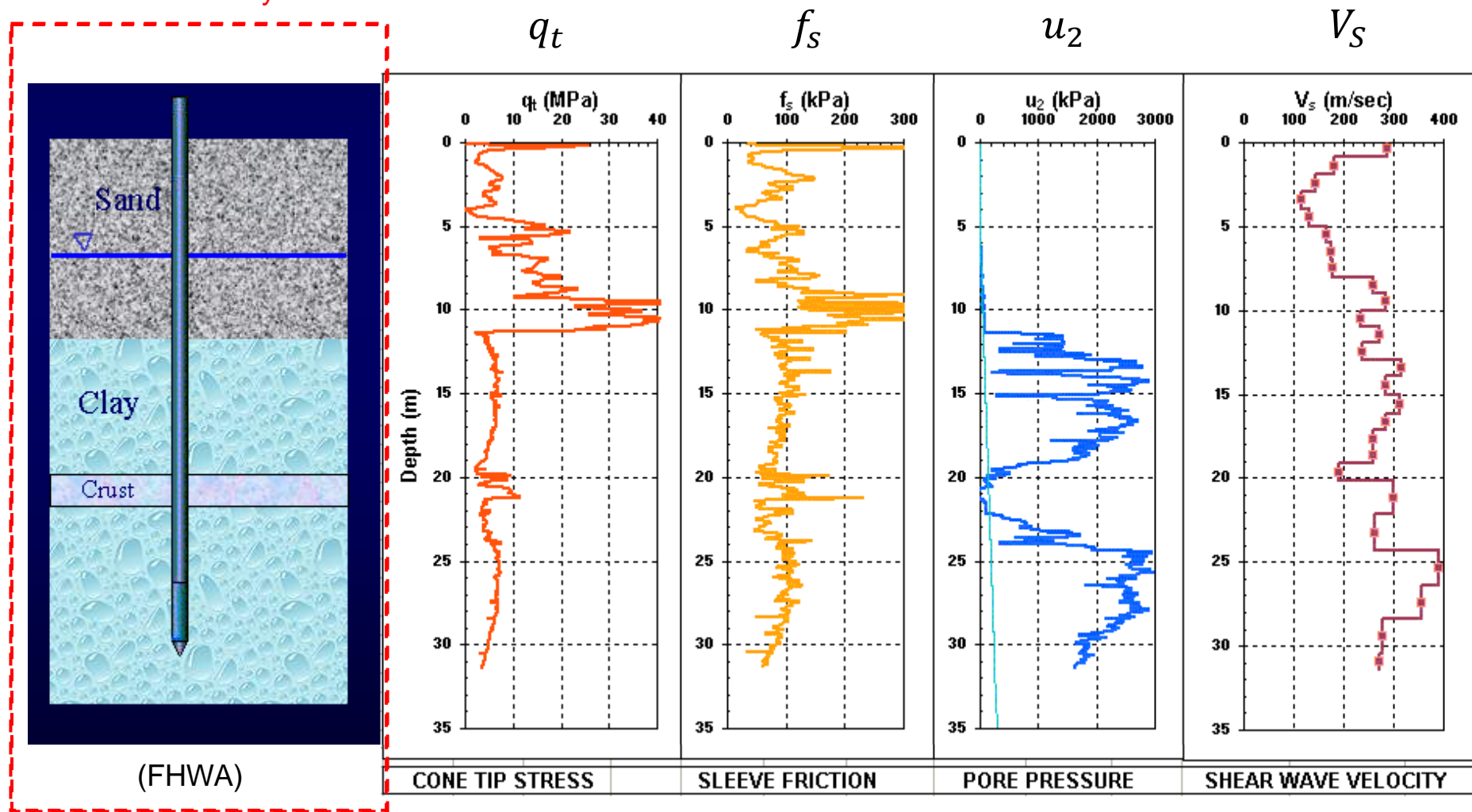




Un resultado típico (S-CPTu)

El perfil geotécnico puede ser desconocido al momento de hacer el ensayo !!

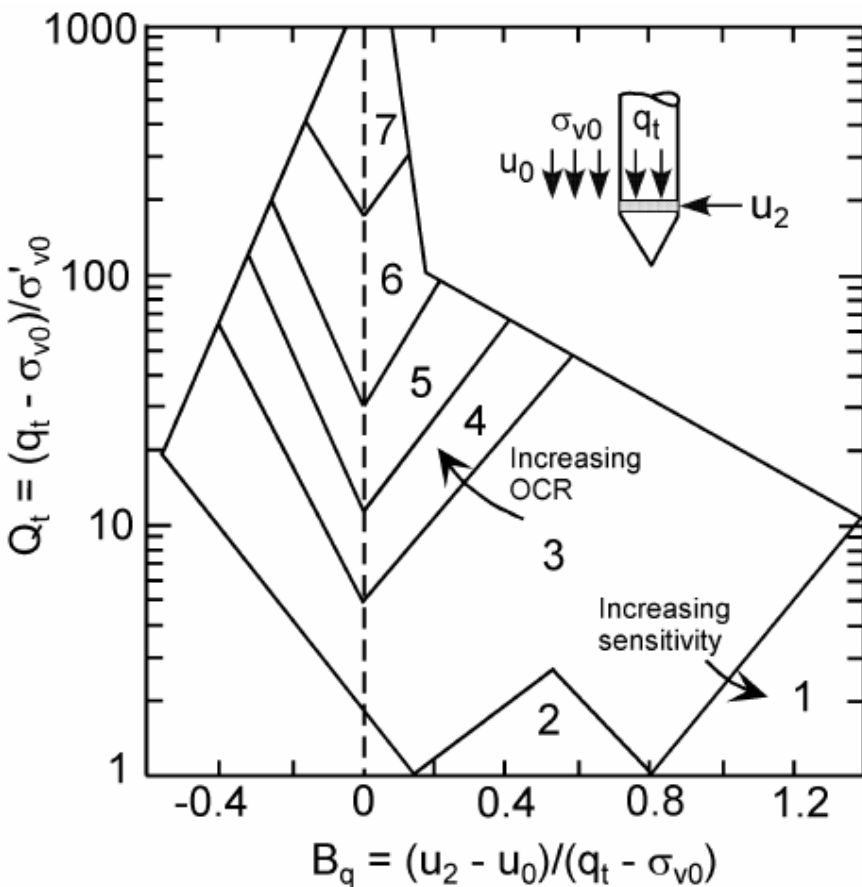
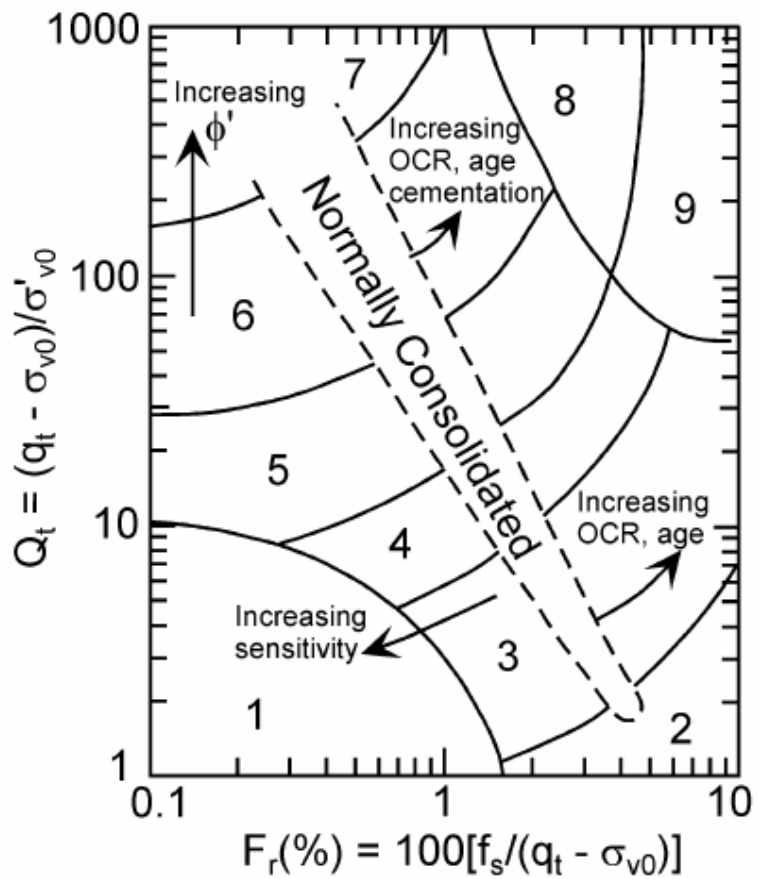
Ensayos in situ





Identificación de suelos con CPTu

Ensayos in situ



SBT (Soil Behavior Type)

(EPRI 1990)

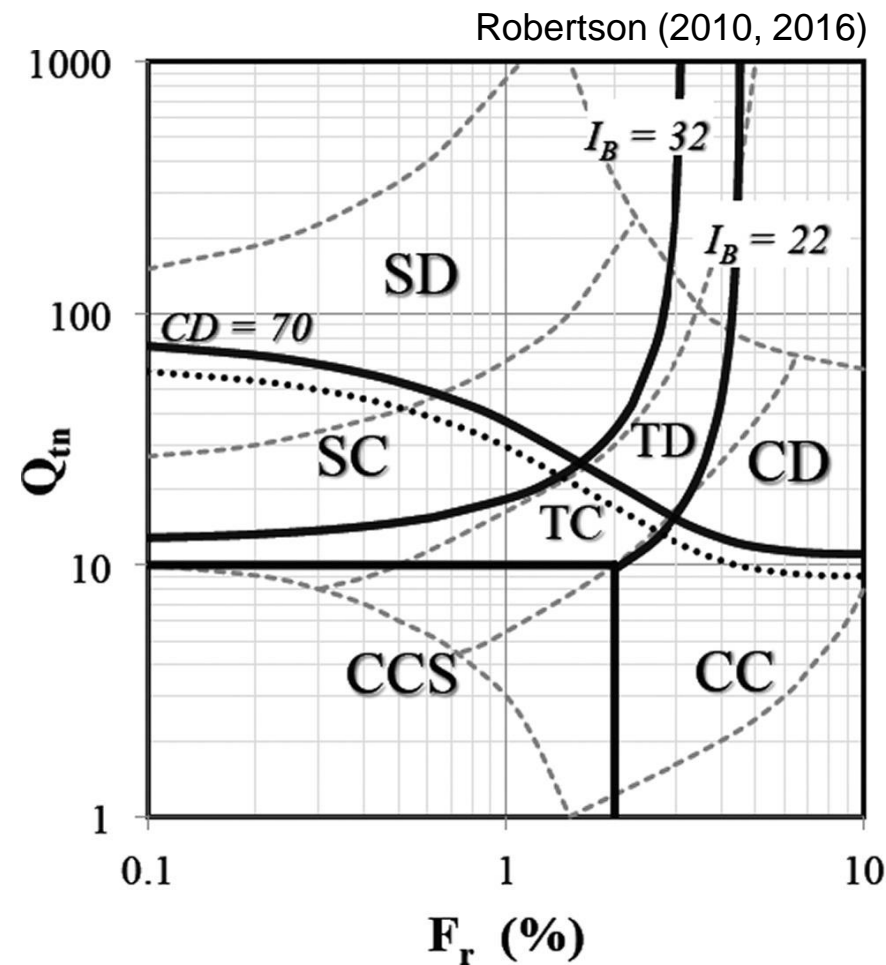
1. Sensitive, fine grained
2. Organic soils-peats
3. Clays: clay to silty clay
4. Silt mixtures: clayey silt to silty clay
5. Sand mixtures: silty sand to sand silty
6. Sands: clean sands to silty sands
7. Gravelly sand to sand
8. Very stiff sand to clayey sand
9. Very stiff fine grained



Estimación de comportamiento probable (“clasificación por comportamiento”)

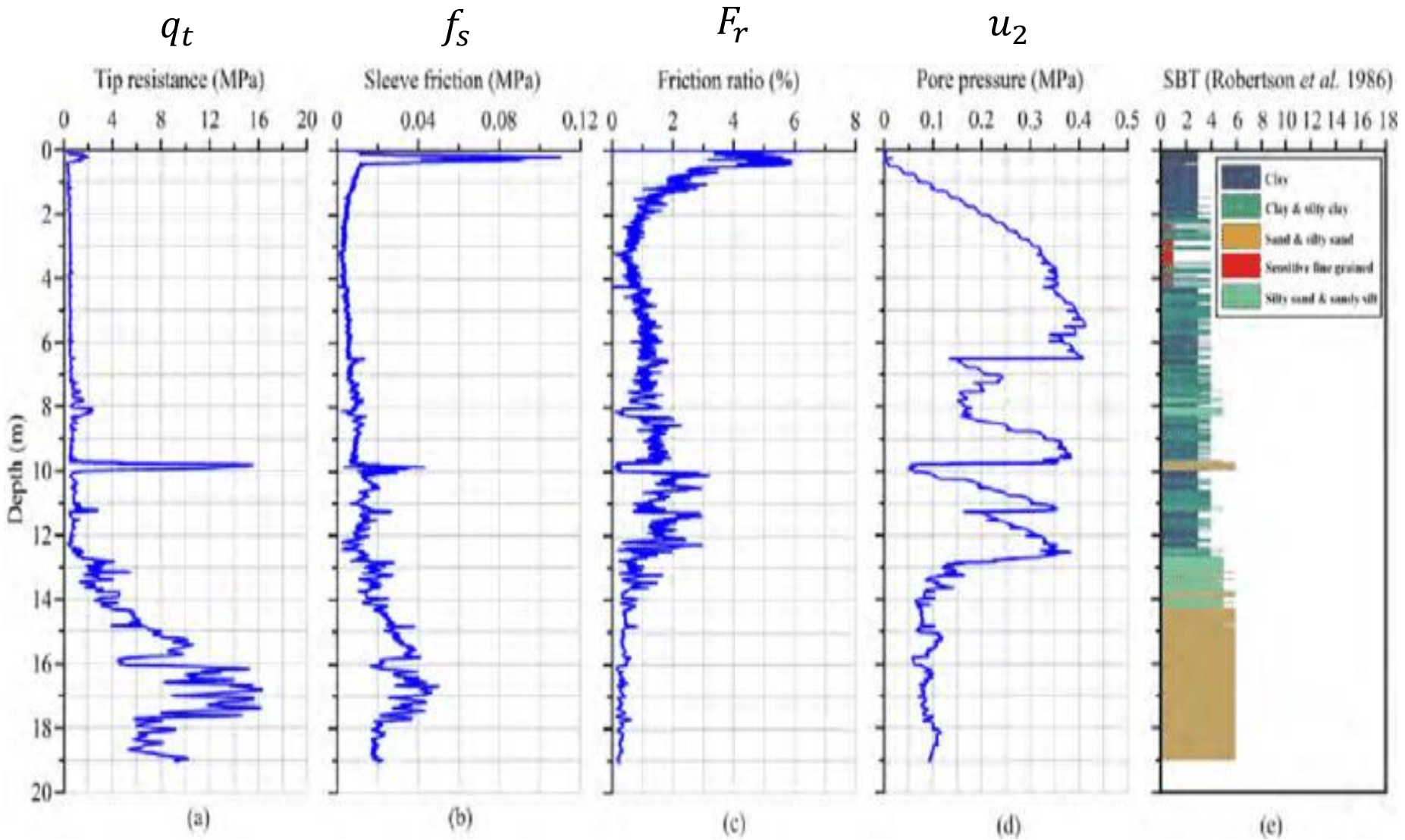
SBT modificado

- CCS: Clay-like – Contractive – Sensitive
- CC: Clay-like – Contractive
- CD: Clay-like – Dilative
- TC: Transitional – Contractive
- TD: Transitional – Dilative
- SC: Sand-like – Contractive
- SD: Sand-like – Dilative



Con velocidad de propagación de onda de corte ($V_s \rightarrow G_0$) se puede estimar el grado de estructuración del depósito

Identificación de suelos con CPTu





Estimación de resistencia al corte no drenado y sensitividad con CPTu

$$s_{u,max} \approx (q_t - \sigma_v) / N_{kt}$$

- s/Cam-Clay: $N_{kt} \approx 2.44 + 1.33 \ln(E/s_u)$

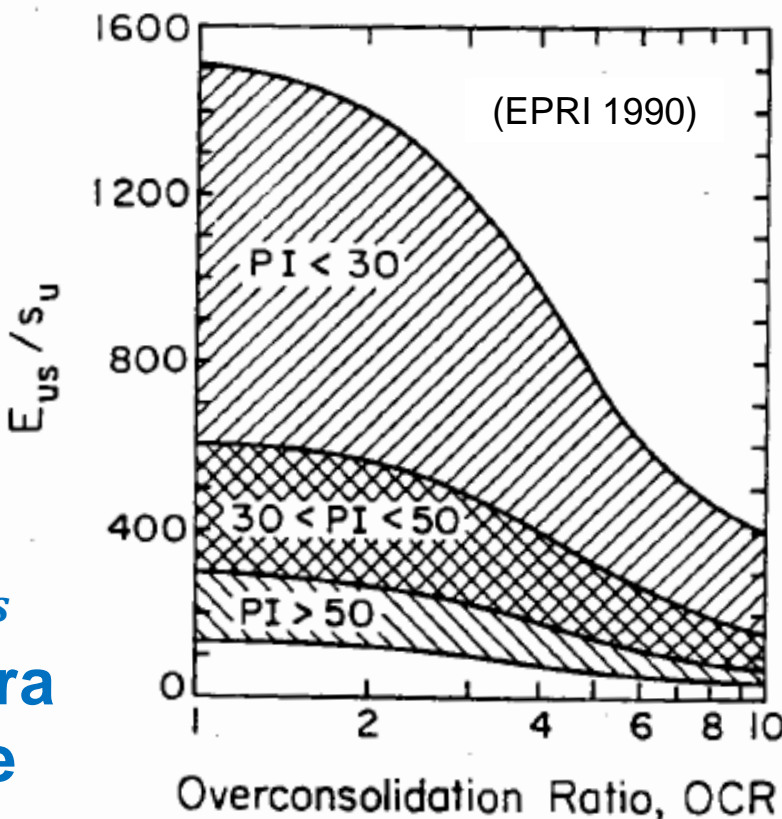
E/s_u	400	600	800
N_k	10.4	11.0	11.3

- Rango experimental $N_{kt} = 12 | 14 | 16$

$s_{u,r}$ se estima con:

- Sensitividad (S)
- Fricción lateral del cono (f_s)
- $S = s_{u,max}/s_{u,r} \approx (q_t - \sigma_v)/N_{kt} \cdot 1/f_s$

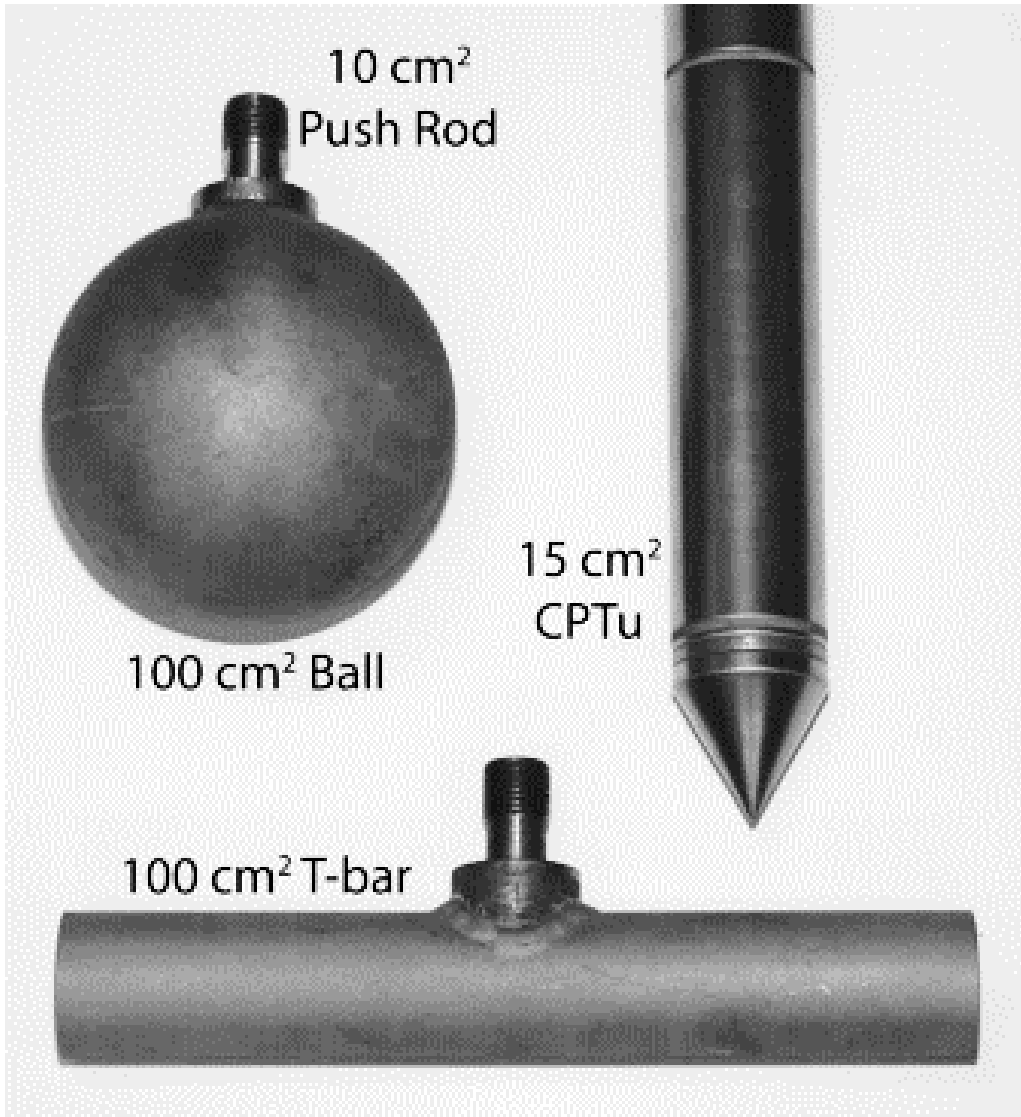
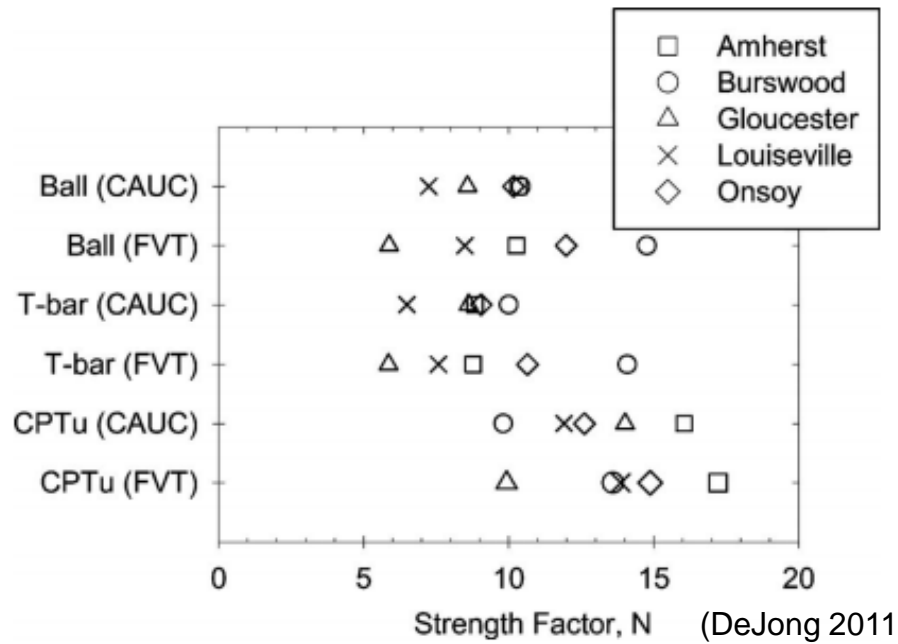
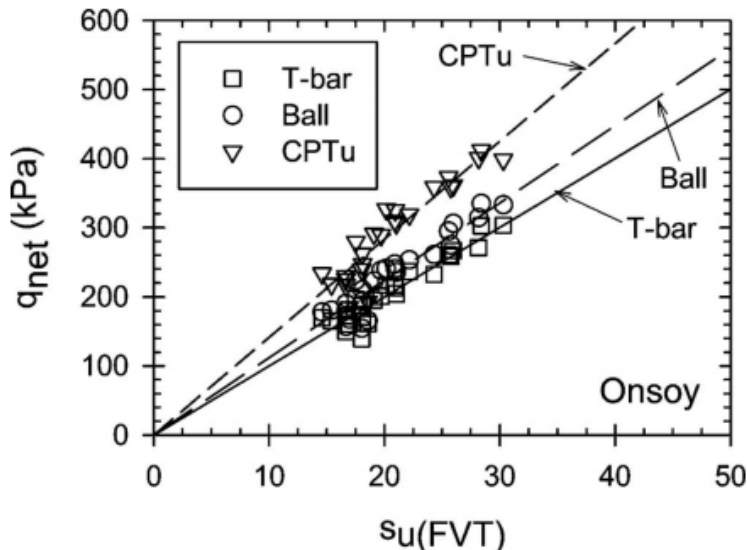
Conviene calibrar los resultados contra VST, ensayos triaxiales o corte simple





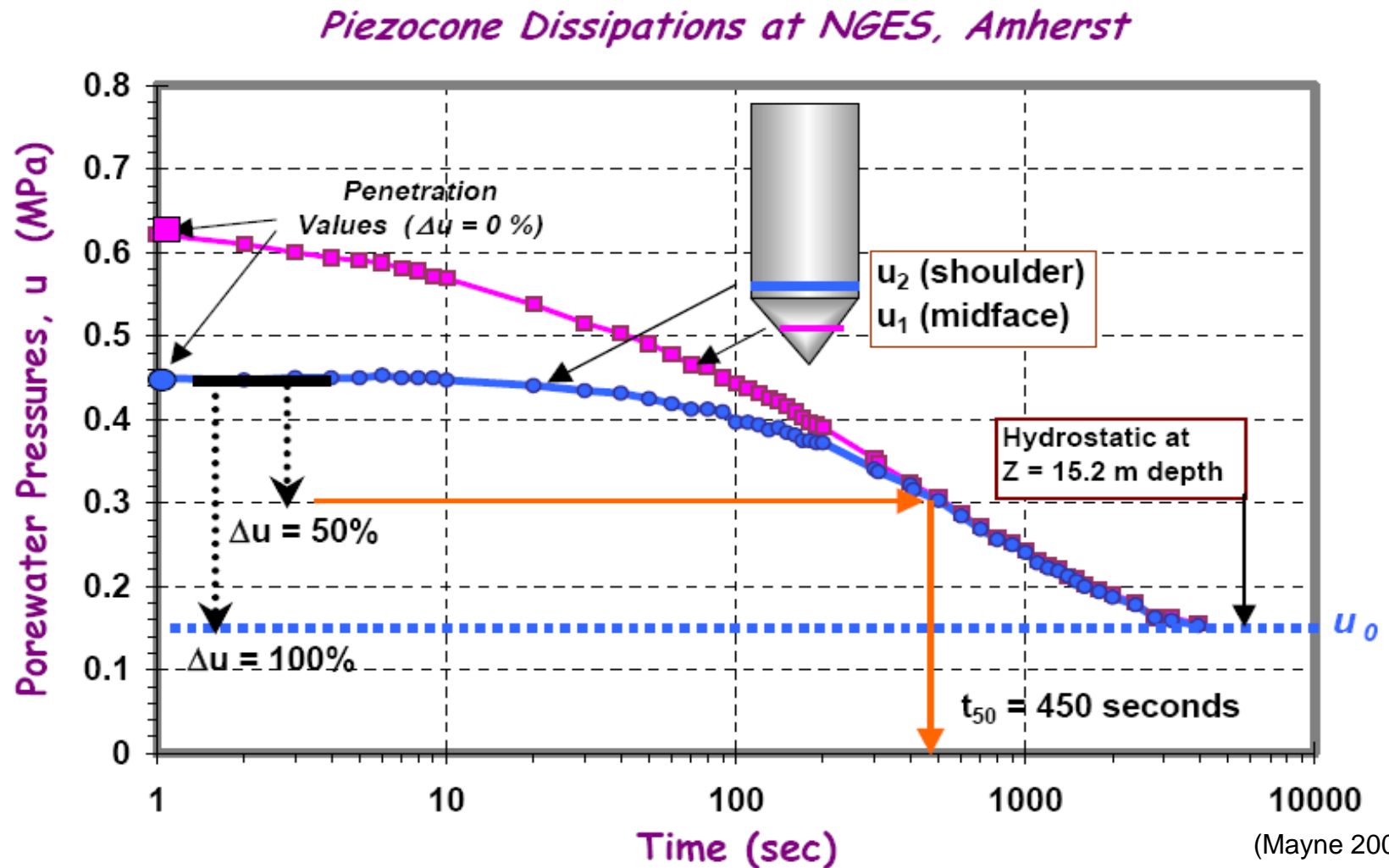
Calibración con otros penetrómetros

Ensayos in situ





Ensayos de disipación con CPTu (evaluar tiempos de consolidación)





Ensayos de disipación con CPTu

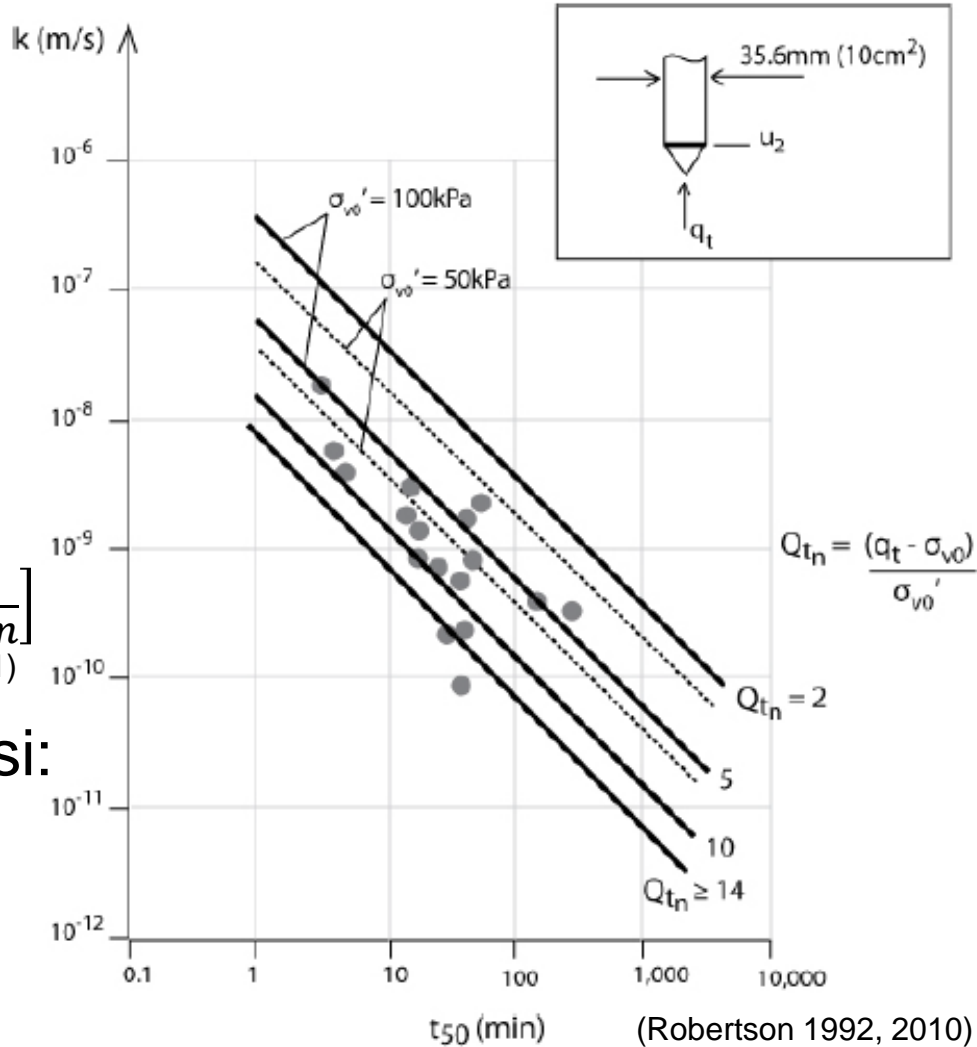
Disipación de presiones de poro durante pausa en la penetración

- Permeabilidad horizontal
- Piezométrica estacionaria
- Condiciones de drenaje durante la penetración

$$c_h \left[\frac{m^2}{sec} \right] \cong (1.67 \cdot 10^{-6}) \cdot 10^{1 - \log \left[\frac{t_{50}}{1 \text{ min}} \right]} \quad (\text{Teh 1991})$$

- La penetración es no drenada si:

$$V = \frac{v \cdot d_c}{c_h} > 10$$

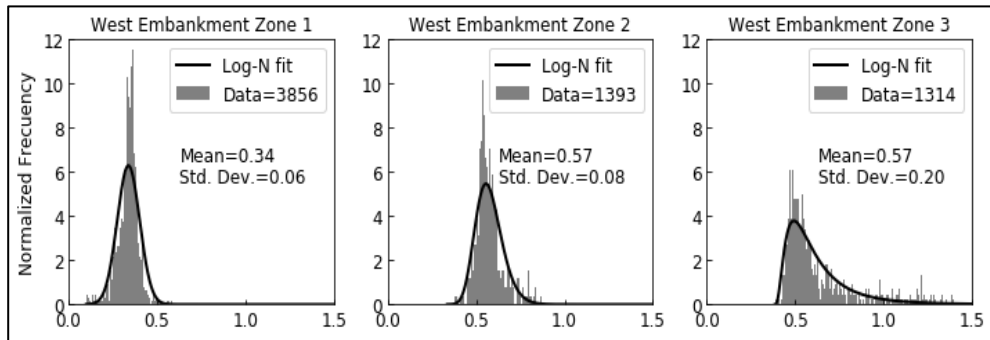


(Finnie & Randolph 1994, DeJong & Randolph 2010)

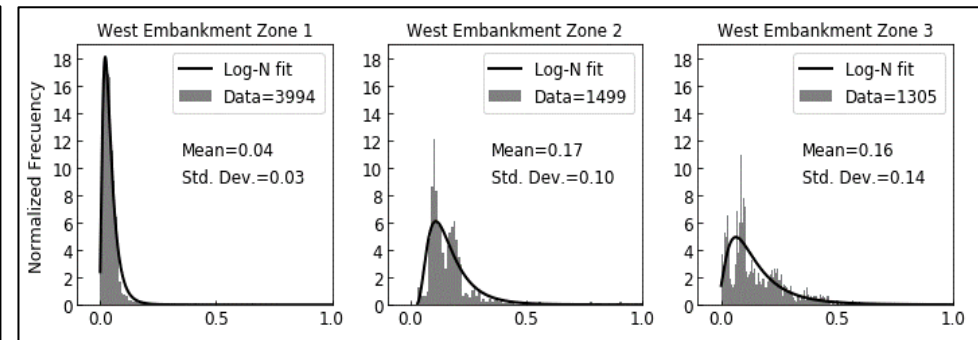


Análisis estadístico de resistencia al corte no drenado

Resistencia máxima



Resistencia residual



Ejemplo

Do mi nio	s_u/σ'_v valor medio (μ) desvío std. (σ)									
	Resistencia máxima			Residual – Sensitividad			Residual – Fricción lateral			
	Zona 1	Zona 2	Zona 3	Zona 1	Zona 2	Zona 3	Zona 1	Zona 2	Zona 3	
1	0.37 0.06	0.58 0.15	0.63 0.18	0.11 0.03	0.17 0.05	0.19 0.07	0.12 0.09	0.19 0.05	0.12 0.11	
2	0.34 0.06	0.57 0.08	0.57 0.20	0.11 0.04	0.17 0.04	0.19 0.05	0.09 0.07	0.15 0.07	0.18 0.17	
3	0.37 0.12	0.60 0.15	0.62 0.14	0.10 0.03	0.17 0.04	0.17 0.08	0.04 0.03	0.17 0.10	0.16 0.14	



Reducción de ruido de resultados de CPTu (en relaves)

Datos de CPTu tienen ruido (un dato c/ 2cm)

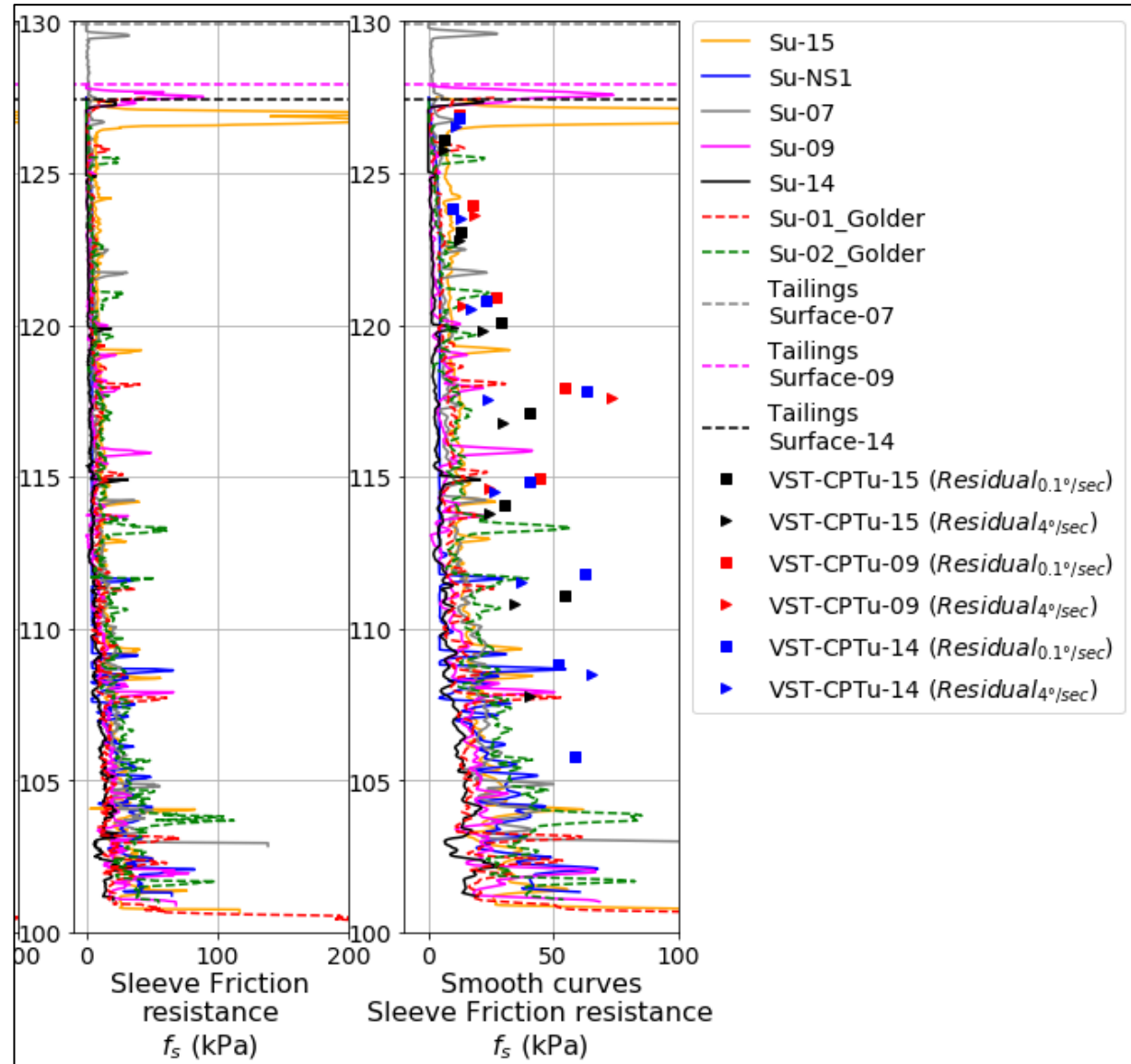
- Planche datos
- “lupa”: altura del cono
- “lupa”: tamaño del elemento

```
Fs_15_1=[]
D15_c1=[]
Fs_15_2=[]
D15_c2=[]
Limit_15 = 127.5
for i in range(len(D15_c)):
    if D15_c[i] > Limit_15:
        Fs_15_1.append(Fs_15[i])
        D15_c1.append(D15_c[i])

    if D15_c[i] <= Limit_15:
        Fs_15_2.append(Fs_15[i])
        D15_c2.append(D15_c[i])

def suavizador(a, n):
    vec= np.cumsum(a, dtype=float)
    vec[n:] = vec[n:] - vec[:-n]
    return vec[n - 1:] / n

Su_15_2 = suavizador(Fs_15_2,7)
```

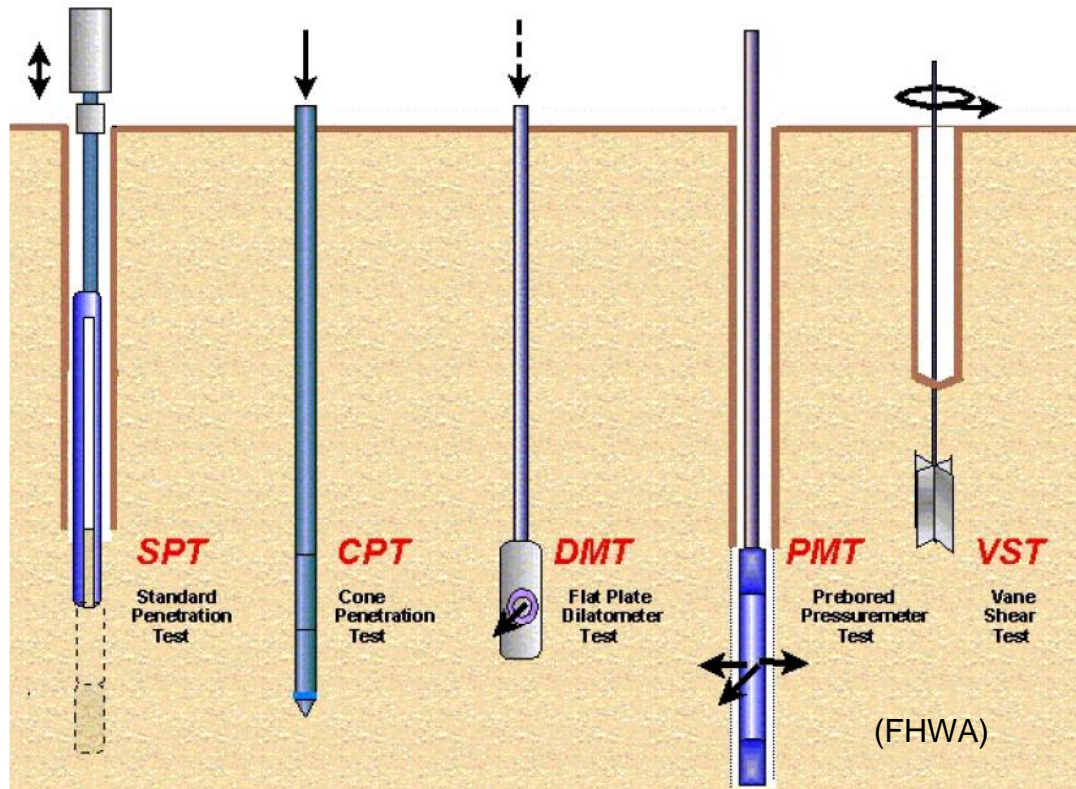




Índice

Ensayos in situ

- SPT: Standard Penetration Test
- CPT: Cone Penetration Test
- PMT: Pressuremeter Test
- VST: Vane Shear Test
- DMT: Dilatometer Test
- PLT: Plate Load Test
- Ensayos geofísicos





Presurímetro Menard

<https://www.youtube.com/watch?v=TScwup1pJCo>
<https://www.youtube.com/watch?v=lUeqLDj6u-k>

Es un ensayo standard en Francia
(norma DTU 13.2)

- Mide rigidez y resistencia in situ inflando una sonda cilíndrica que se expande en forma radial



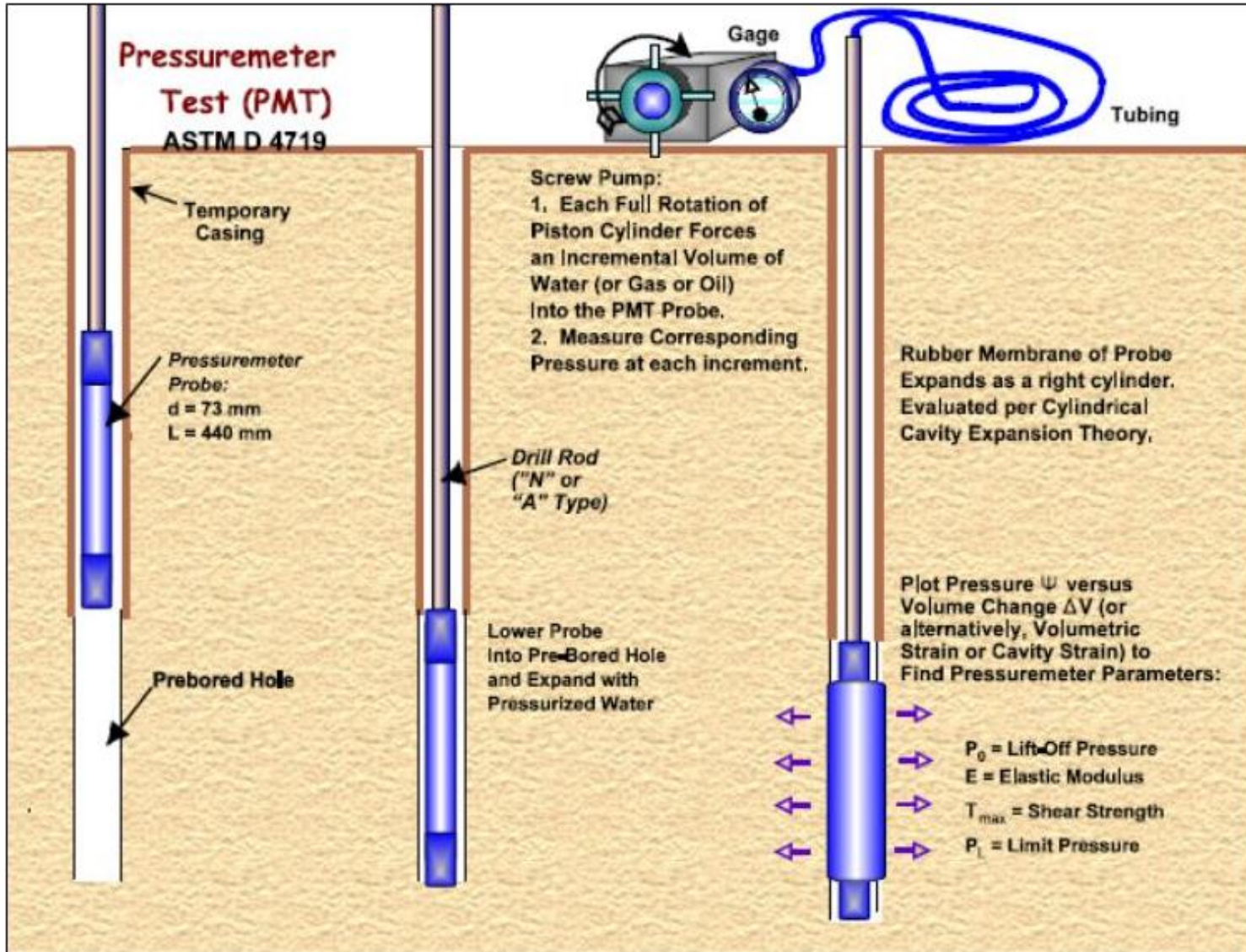
Sonda cilíndrica



Sonda + tablero control + presurizador



Presurímetro Menard

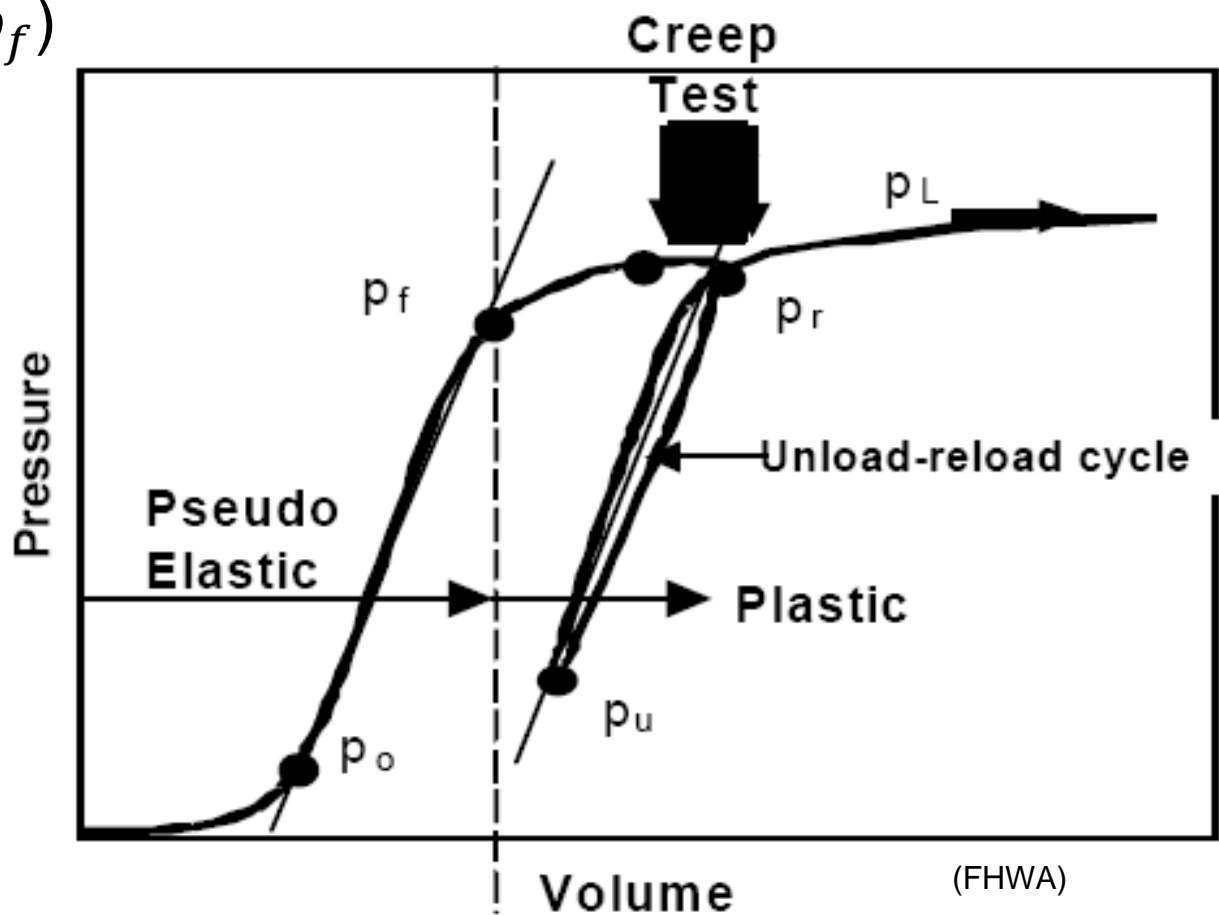




Parámetros que se miden

- Presión de contacto (p_0)
- Presión de fluencia (p_f)
- Presión límite (p_l)
 - $\Delta V = V_0$

Desventaja del ensayo:
La sonda no queda
bien fijada a las
paredes de la
perforación

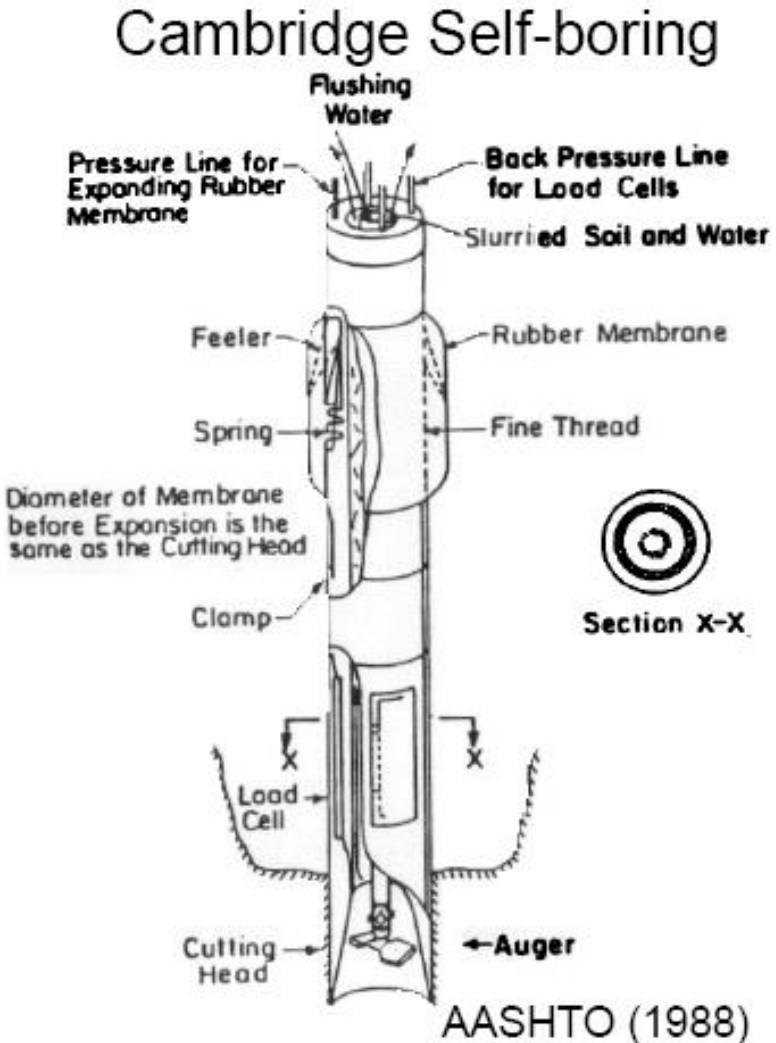




Presurímetro autoperforante

Presurímetro que perfora su propio orificio:

- No hay relajación de las paredes de la perforación
- Permite medir la rigidez inicial con mayor precisión
- Permite medir $K_0 = \frac{\sigma' h_0}{\sigma' v_0}$

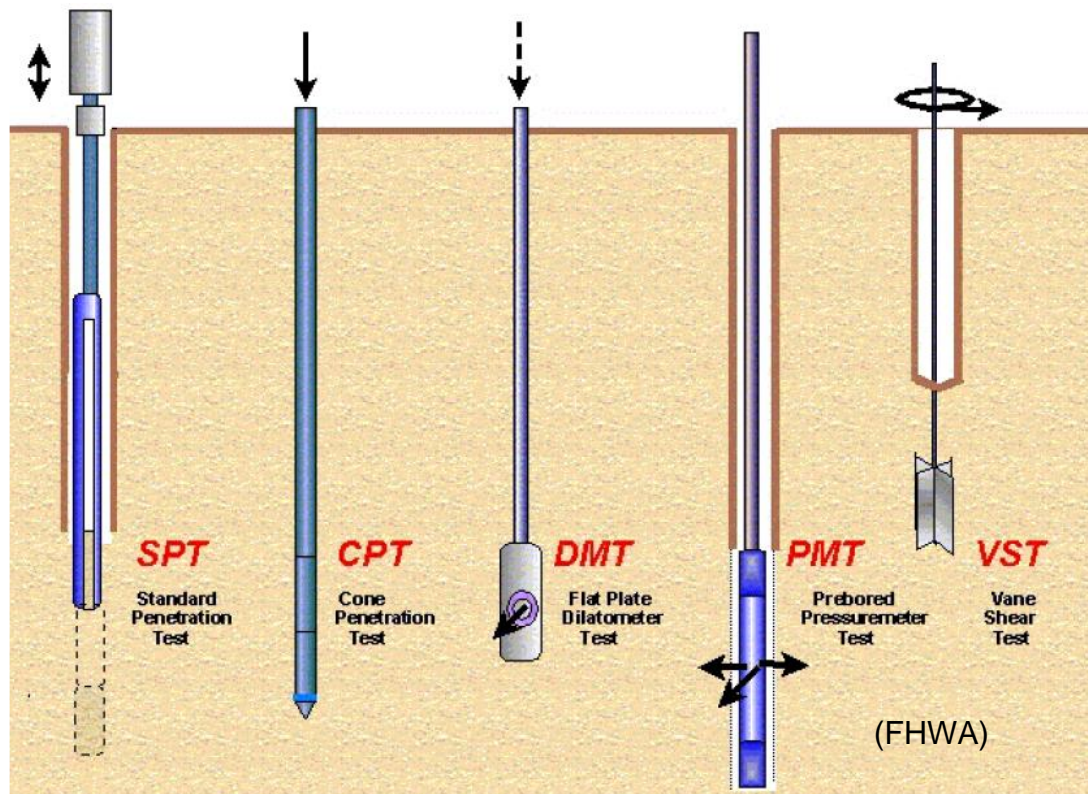




Índice

Ensayos in situ

- SPT: Standard Penetration Test
- CPT: Cone Penetration Test
- PMT: Pressuremeter Test
- VST: Vane Shear Test
- DMT: Dilatometer Test
- PLT: Plate Load Test
- Ensayos geofísicos



Ensayo de veleta VST



- Determinación directa in situ de resistencia al corte no drenada (s_u) y sensitividad (S)
- Apto en suelos blandos o medios, no apto en suelos duros o granulares
- Puede practicarse en coincidencia con perforaciones hechas para otros trabajos
- Un buen torquímetro, fundamental



Diferentes juegos de veletas



Mini VST (laboratorio)



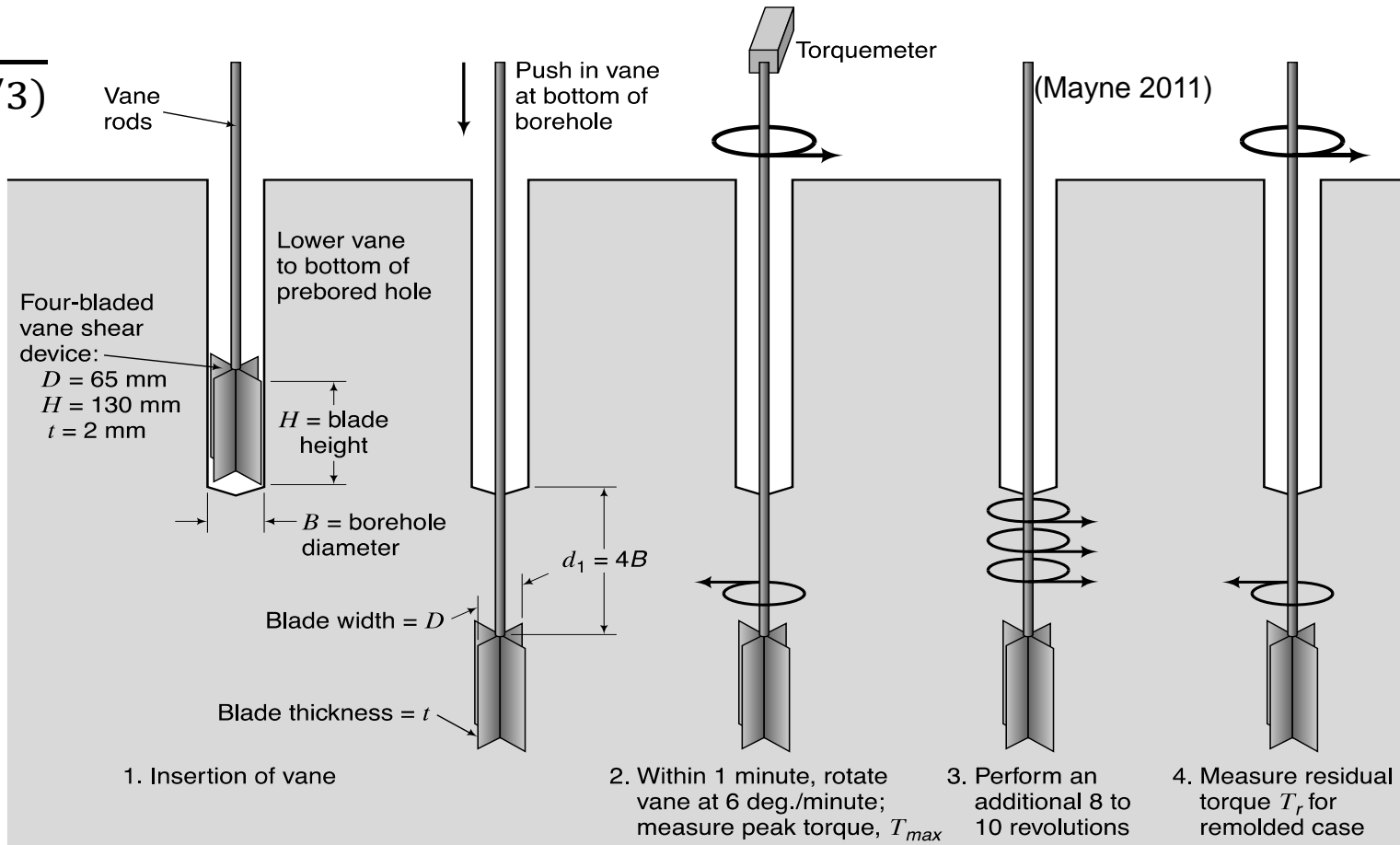
Ensayo de veleta VST

Secuencia del ensayo (resistencia a torsión de veleta)

$$S_u = \frac{2T}{\pi d^3(h/d+1/3)}$$

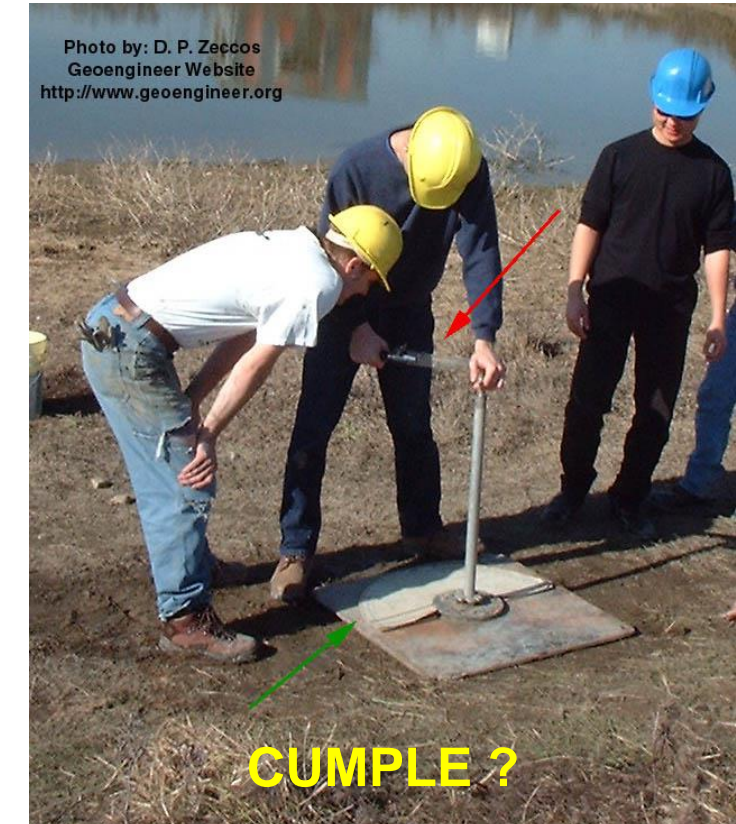
$$S = \frac{T_{max}}{T_r}$$

T = torque





Ensayo de veleta VST



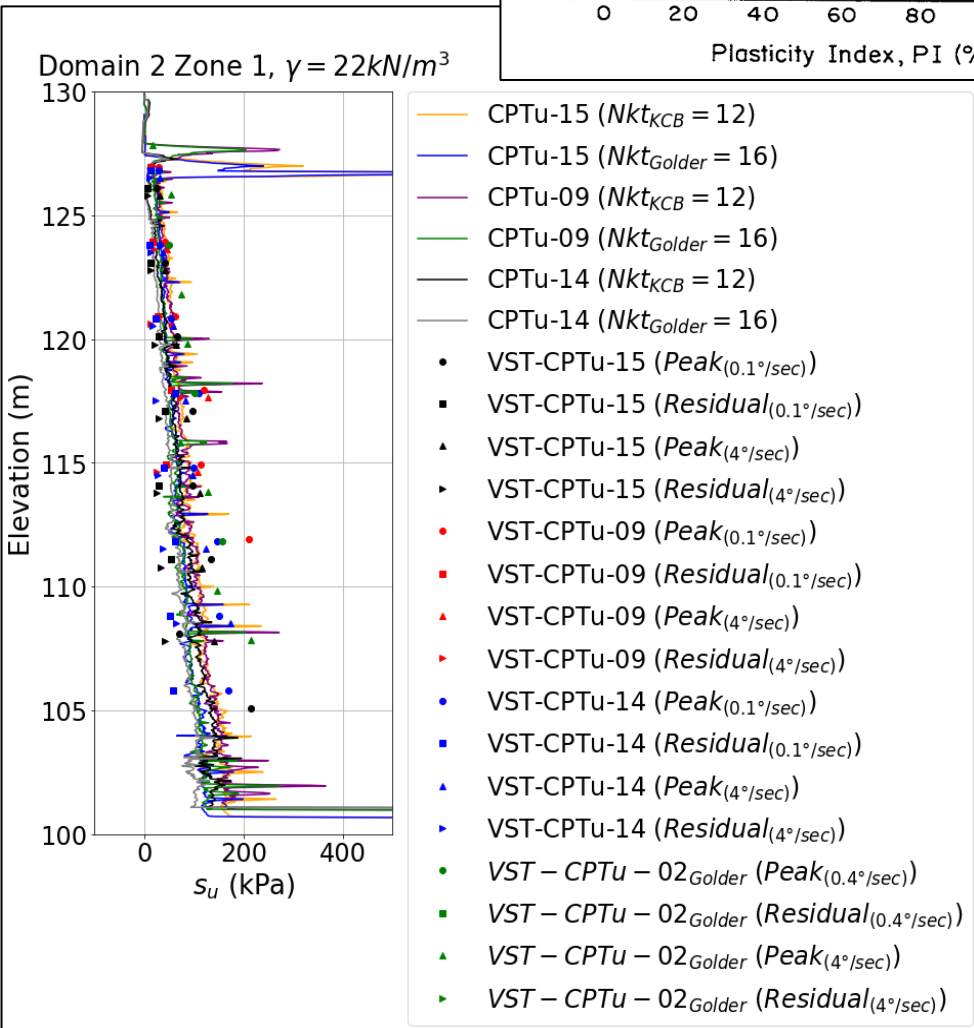
Calibración de CPTu con VST

Ensayos de veleta

- Resist. máxima: $s_{u,max}$
- Se comprueba no drenado girando a dif. velocidades
- Resist. residual: $s_{u,r}$
con 5 y 10 giros
- Sensitividad: $S = s_u / s_{u,r}$

CPTu

- Veleta permite elegir N_{kt}
- $s_{u,max} \approx (q_t - \sigma_v) / N_{kt}$
- $s_{u,r}$ estimada con S y f_s

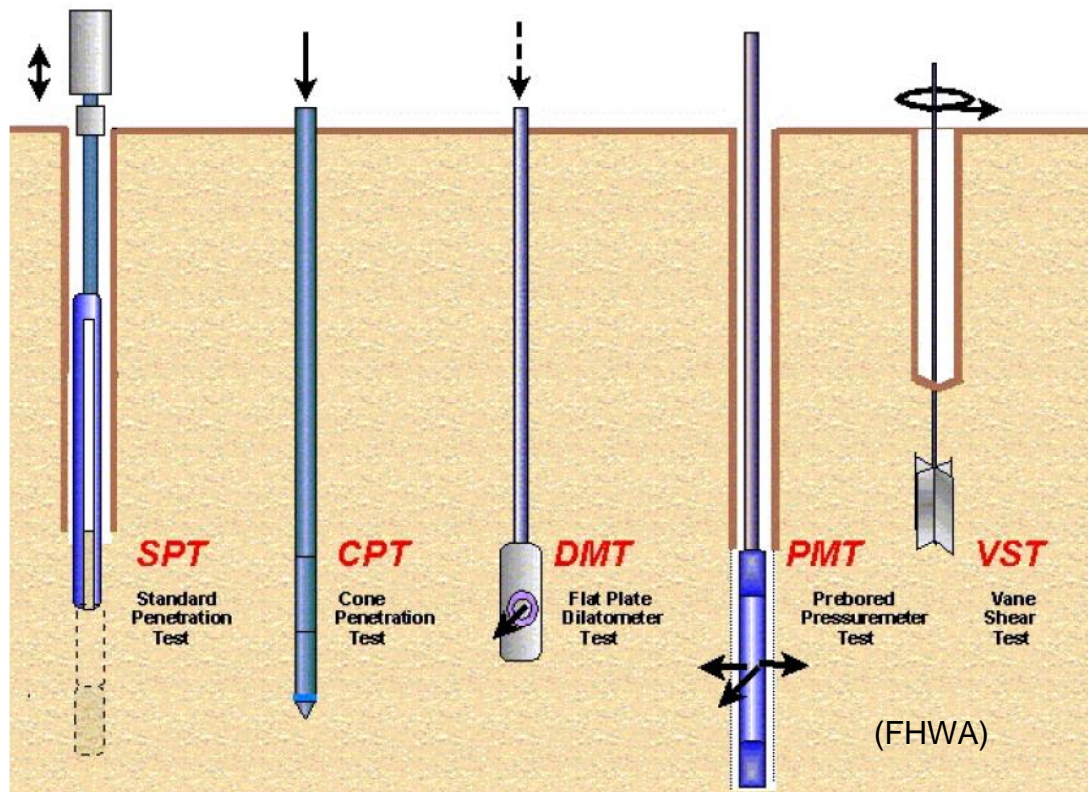




Índice

Ensayos in situ

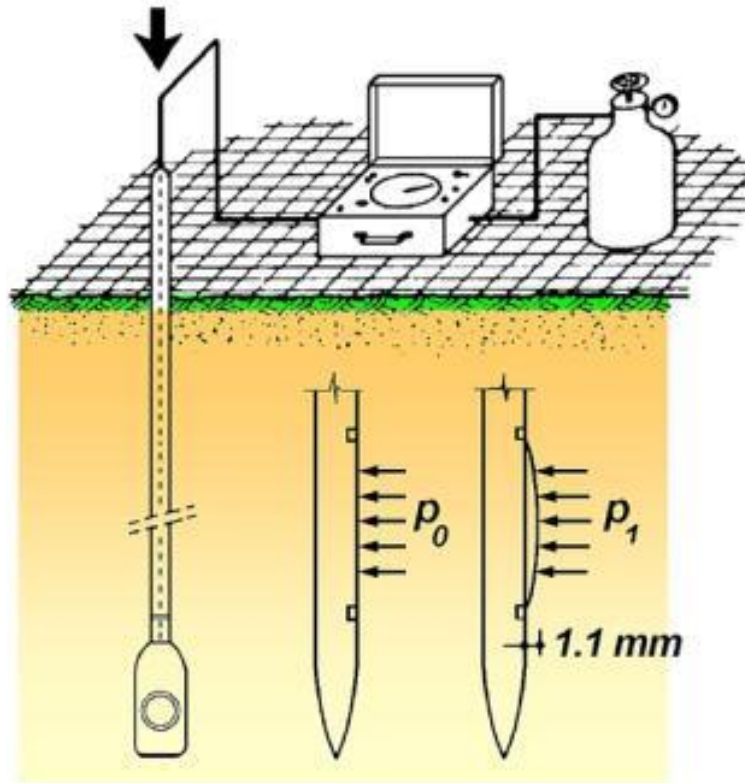
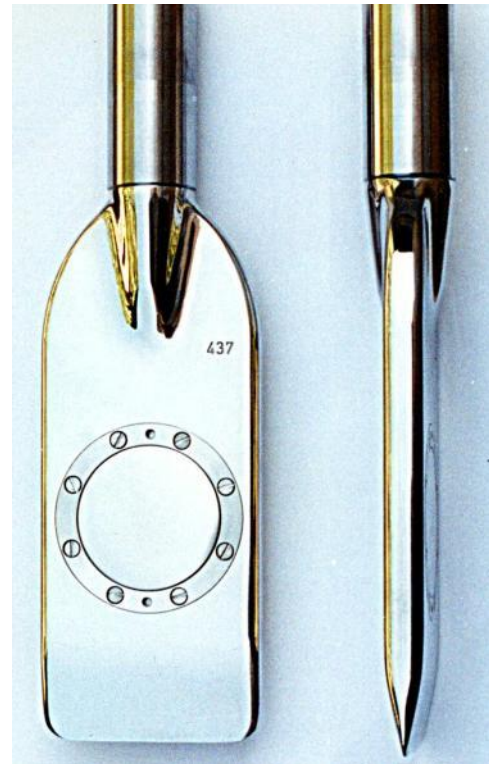
- SPT: Standard Penetration Test
- CPT: Cone Penetration Test
- PMT: Pressuremeter Test
- VST: Vane Shear Test
- DMT: Dilatometer Test
- PLT: Plate Load Test
- Ensayos geofísicos





Dilatómetro Marchetti

Ensayos in situ

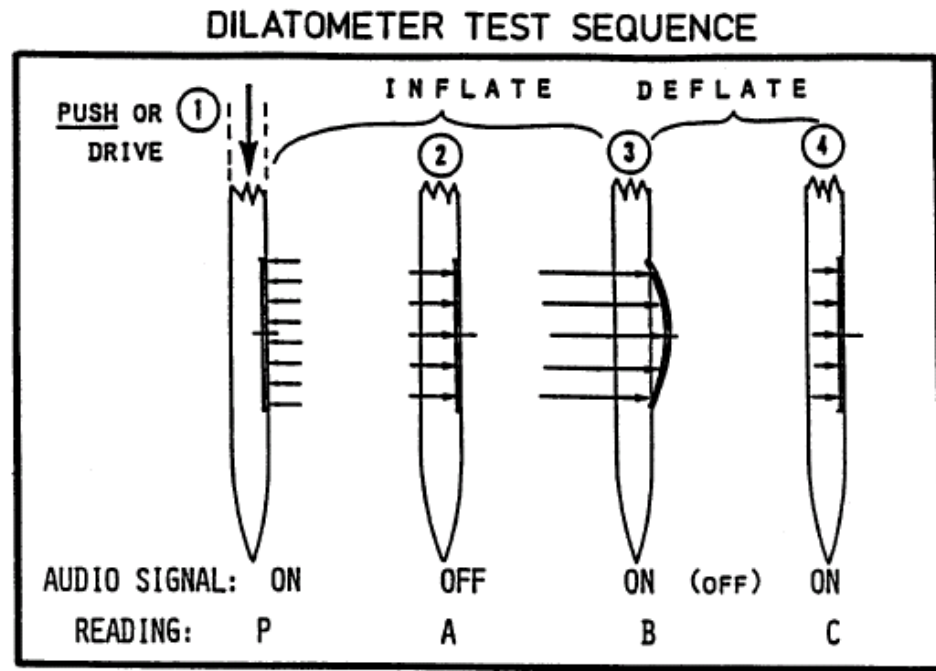
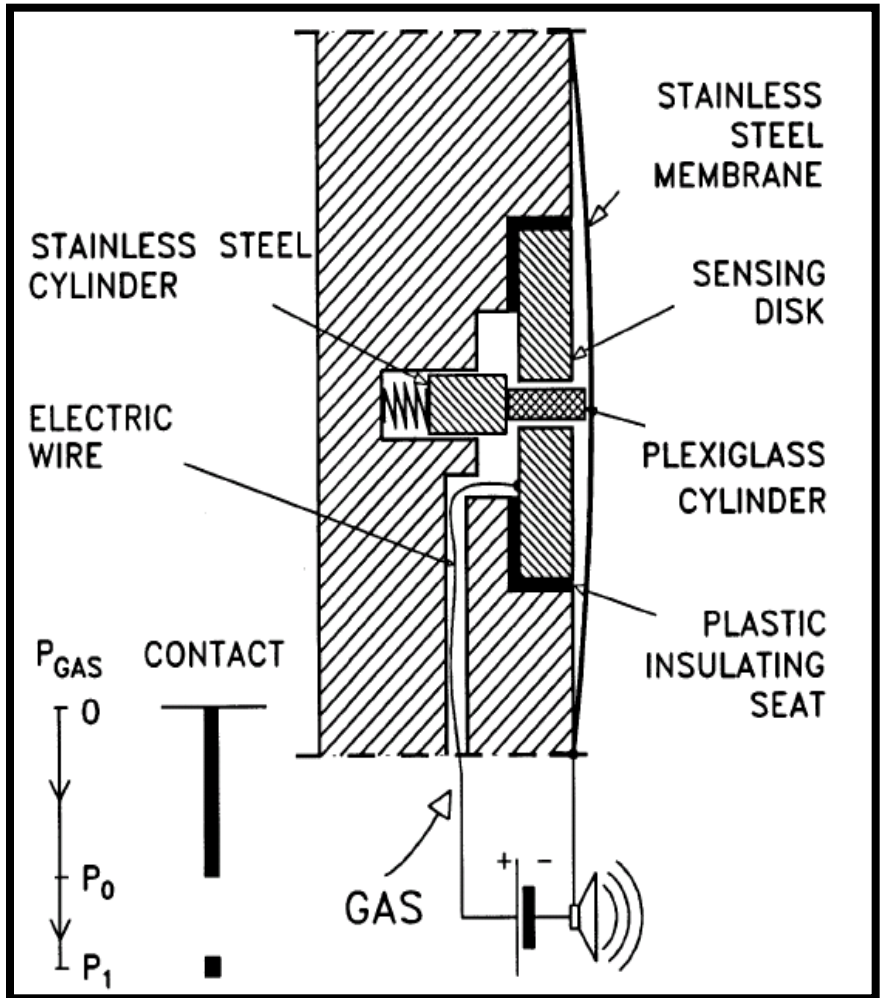


(Marchetti 2008)



Principio de funcionamiento del DMT

Ensayos in situ

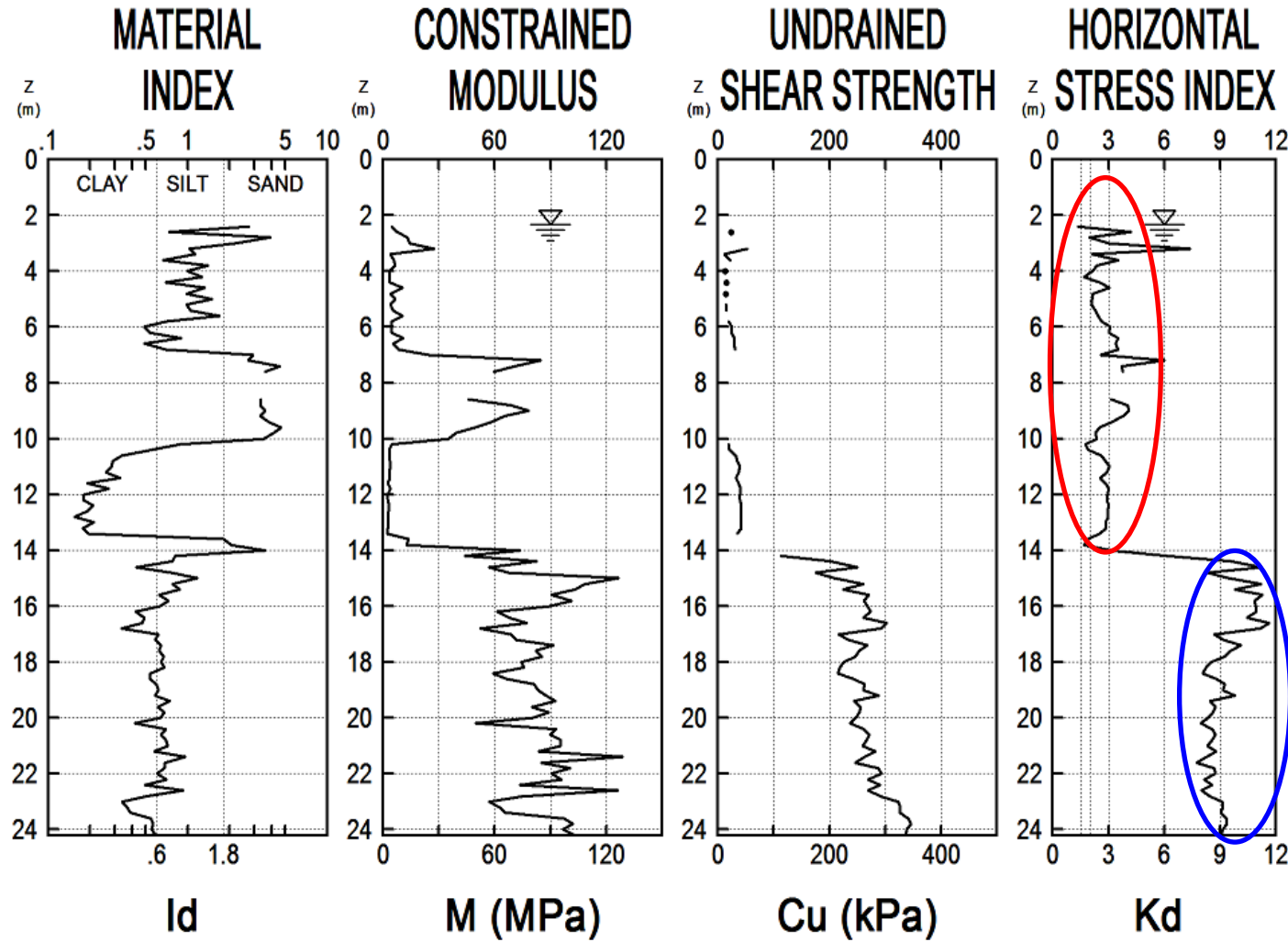


(Marchetti 2008)

DMT: Puede estimar OCR



Ensayos in situ



$$I_D = (p_1 - p_0)/(p_0 - u_0)$$

$$K_D = (p_0 - u_0)/\sigma_{v0}$$

$$E_D = 34.7(p_1 - p_0)$$

NC: $K_d \sim 2.0$

OC: $K_d > 2.0$

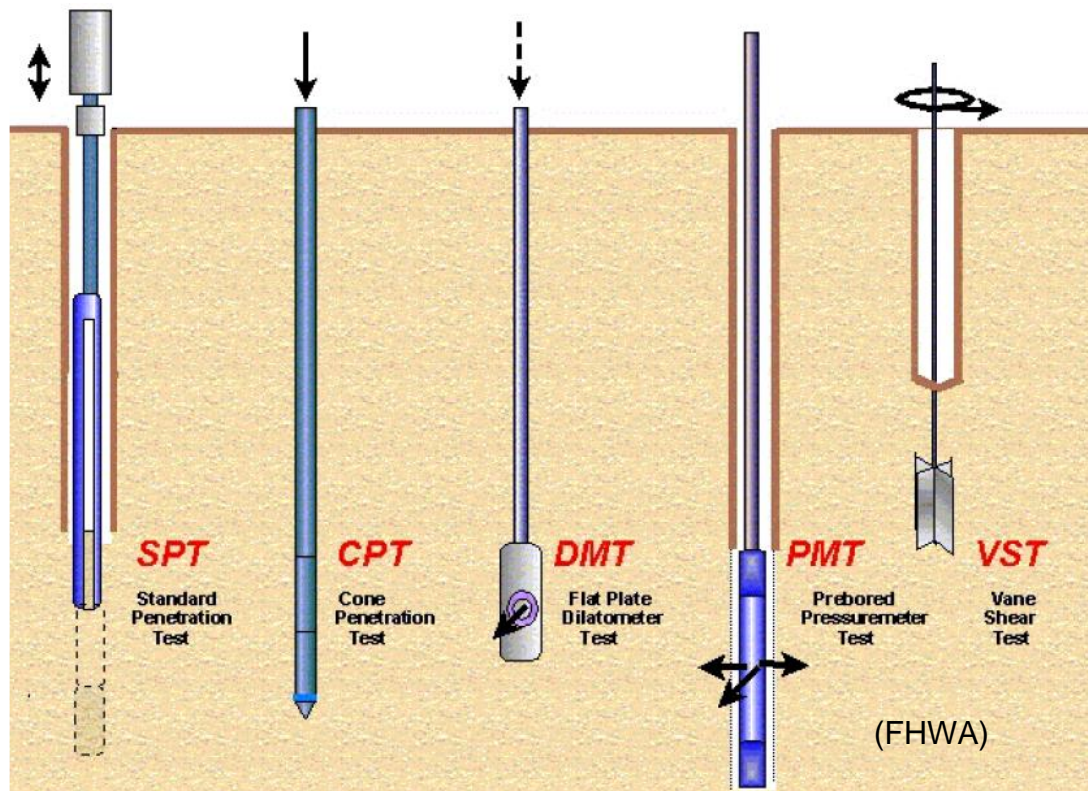
(Taranto 1987)



Índice

Ensayos in situ

- SPT: Standard Penetration Test
- CPT: Cone Penetration Test
- PMT: Pressuremeter Test
- VST: Vane Shear Test
- DMT: Dilatometer Test
- PLT: Plate Load Test
- Ensayos geofísicos



Ensayo de carga en placa (PLT)

Mide el coeficiente de reacción de la subrasante

$$k_s = \frac{P}{\delta}$$

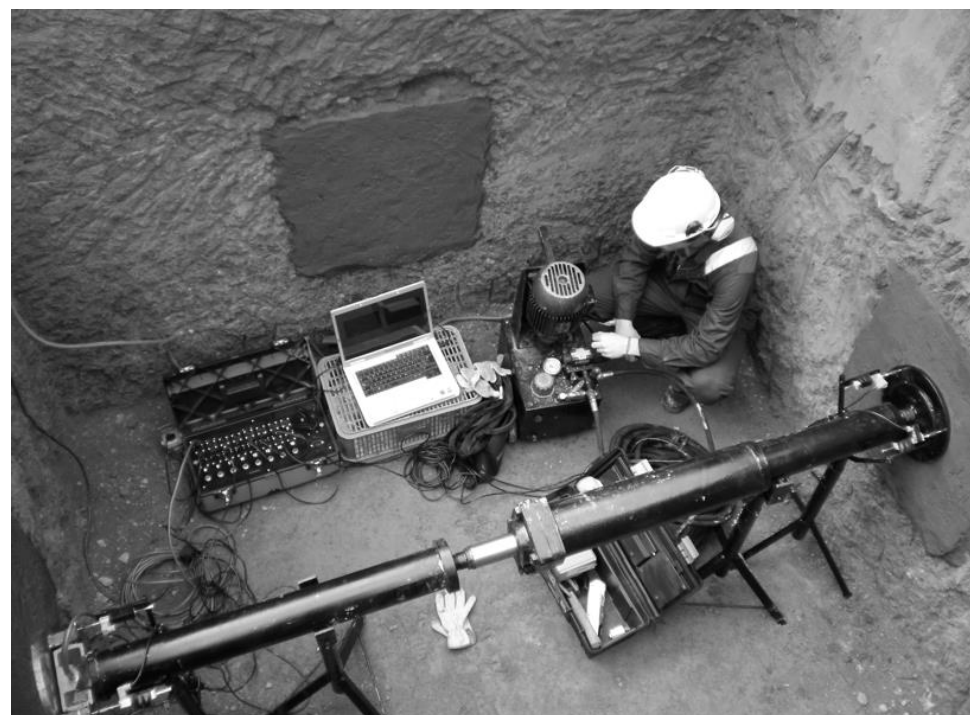
- Teoría de la elasticidad: $k_s \propto \frac{E}{B}$
- Puede aproximarse como

$$k_s \sim 1.35 \frac{E}{B} \left(\frac{2}{3} + \frac{1}{3} \frac{B}{L} \right)$$

Permite estimar un valor medio del módulo de Young E



(Sfriso 2006)



Ensayo de carga en placa: un resultado



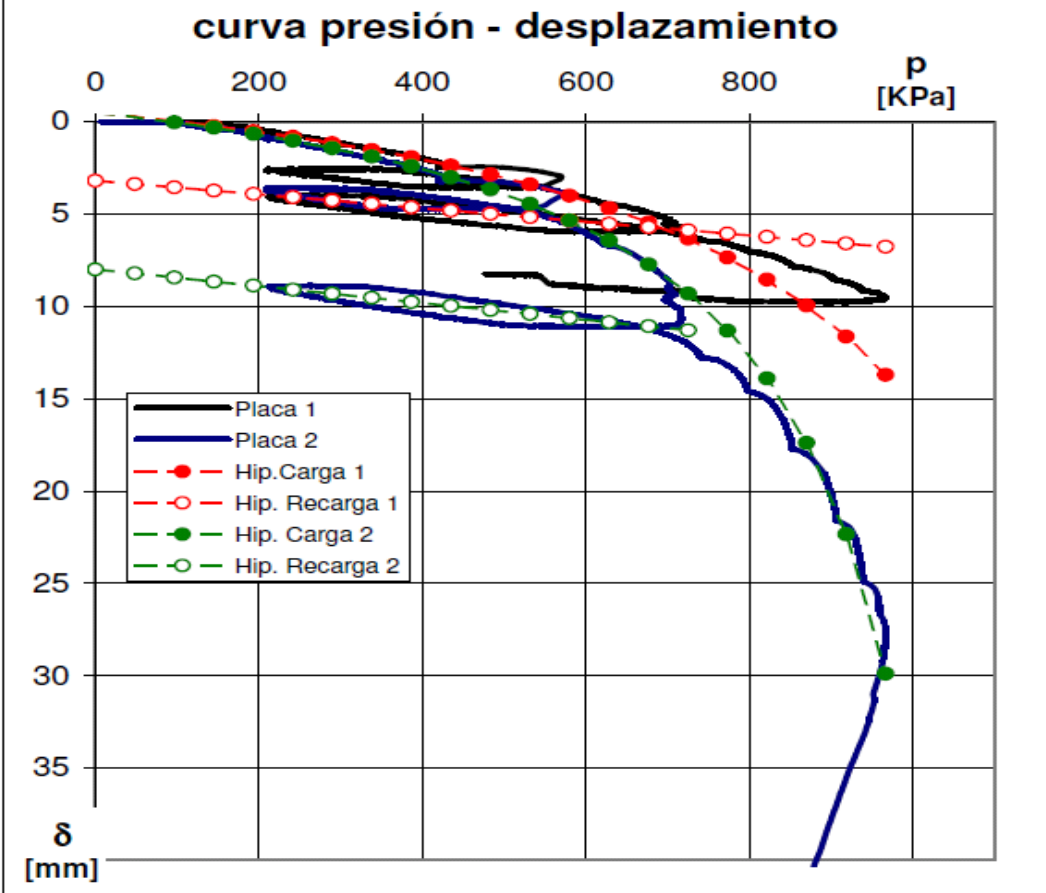
ENsayo DE CARGA EN PLACA

VESTIBULO ROOSEVELT			
Profundidad:	6	metros	horizontal

Suelo	Placa 1	Placa 2	Descripción
$\omega \%$	28.1	31.8	humedad natural
$\omega_l \%$	50	48	límite líquido
$I_p \%$	19	17	índice de plasticidad
#200 %	>90	>90	pasa tamiz 200

Placa 1	Carga	Recarga	A [m^2]	0.07
δ_0	mm	-0.5	3.2	corrección de cero
K_i	MN/ m^3	220	270	balasto inicial
p_{ult}	KPa	1400	-	presión última

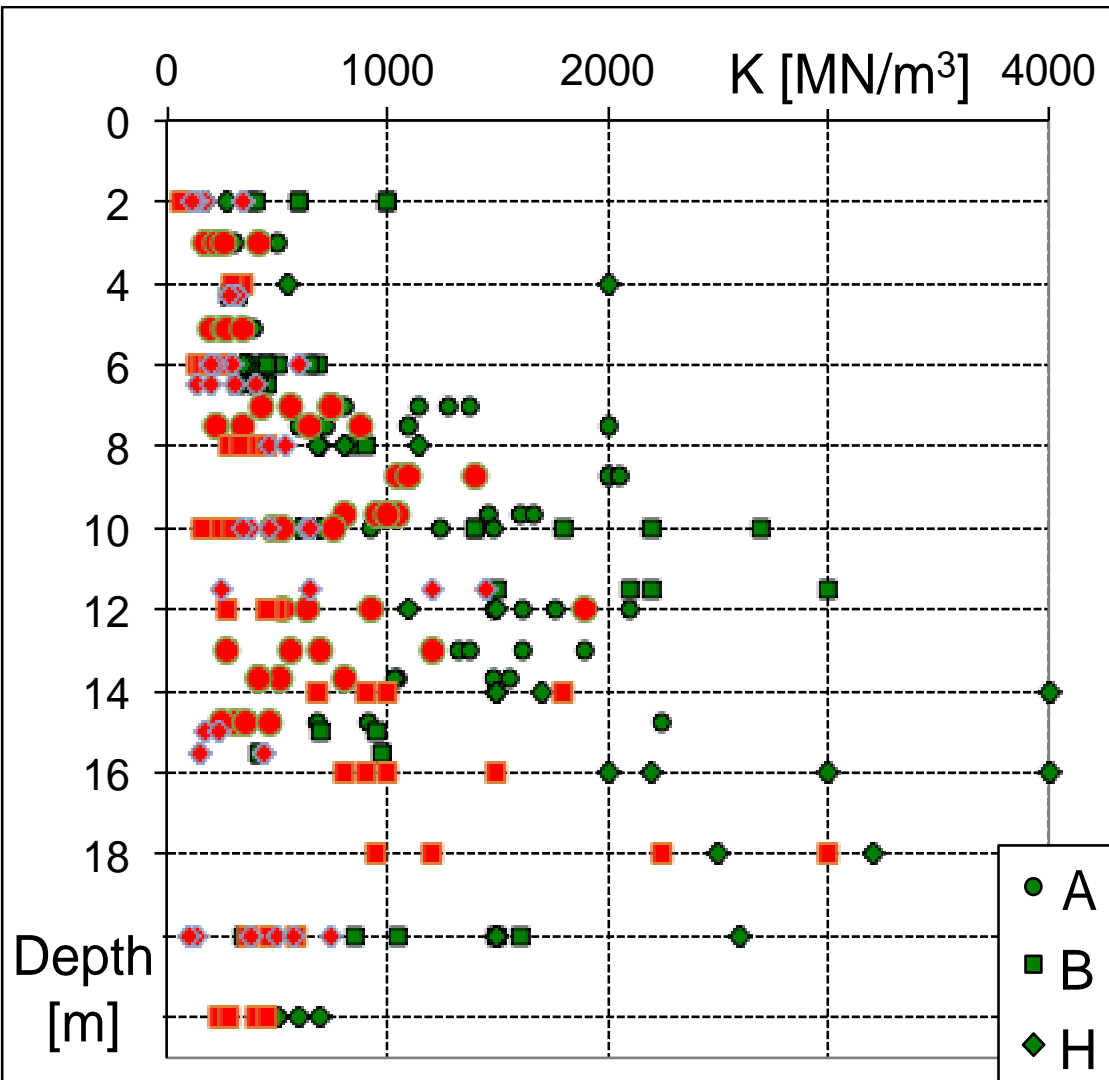
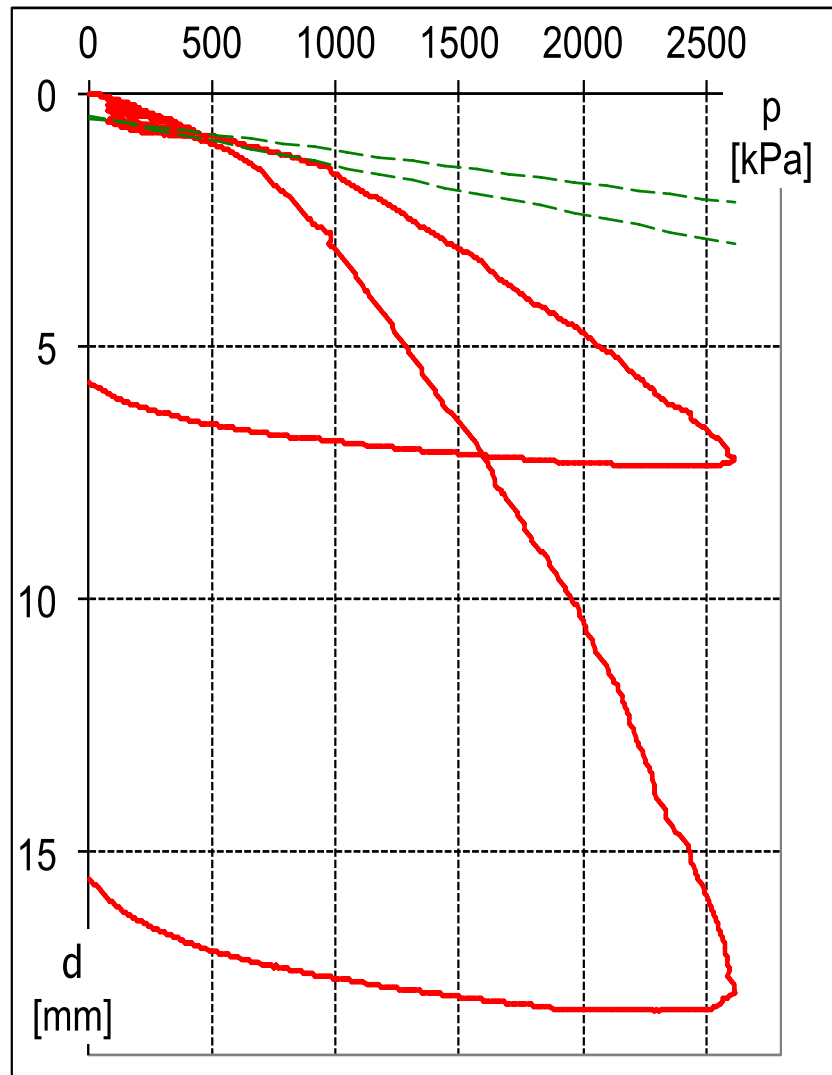
Placa 2	Carga	Recarga	A [m^2]	0.07
δ_0	mm	-0.5	8.0	corrección de cero
K_i	MN/ m^3	200	220	balasto inicial
p_{ult}	KPa	1150	-	presión última





Ensayo de placa en Pampeano

Ensayos in situ

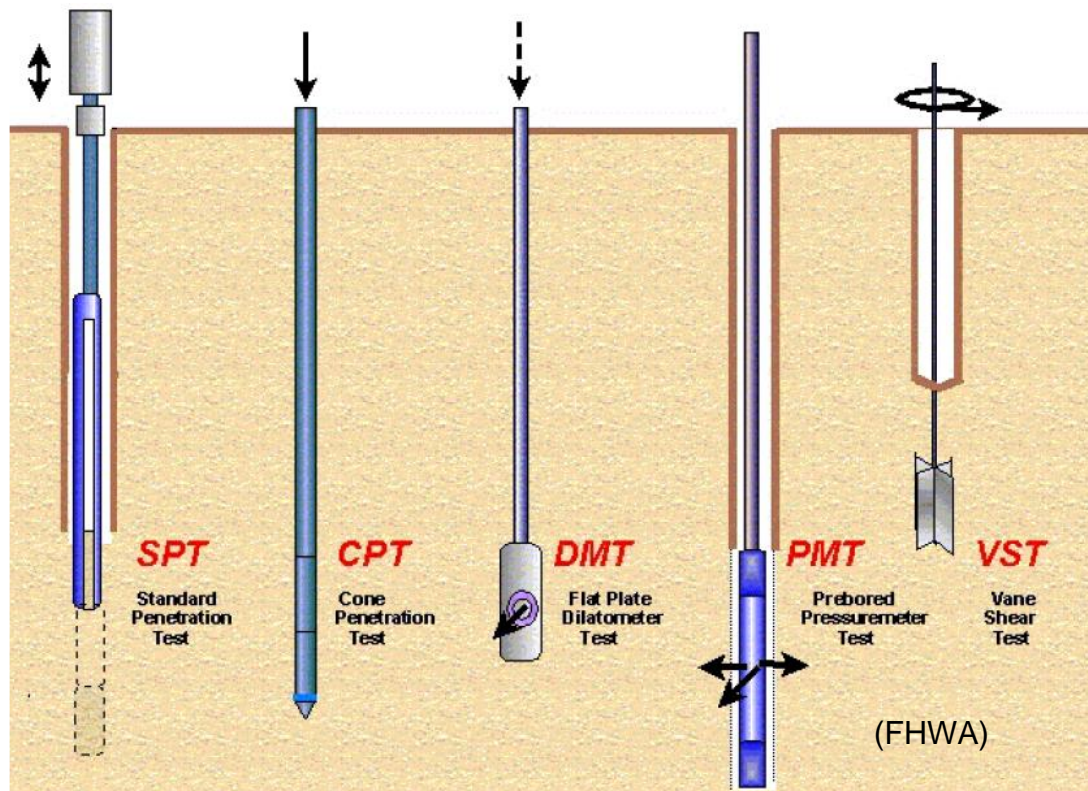




Índice

Ensayos in situ

- SPT: Standard Penetration Test
- CPT: Cone Penetration Test
- PMT: Pressuremeter Test
- VST: Vane Shear Test
- DMT: Dilatometer Test
- PLT: Plate Load Test
- Ensayos geofísicos



Métodos geofísicos



Ensayos in situ

Método	Campo de Fuerza	Propiedad Físico o Química
Magnético	campo de fuerza magnético	permeabilidad magnética (μ)
Gravimétrico	campo de fuerza gravílico	densidad, gravitrones (r)
Eléctrico	campos eléctricos natural y artificial	potenciales REDOX, conductividad eléctrica (s)
Sísmico	campo artificial creado por las ondas símicas	densidad (r), elasticidad
Radiométrico	radiación radioactiva	radioactividad, emisión de partículas eléctricas cargadas desde el núcleo de átomos de materiales radioactivos
Geotérmico	gradiente de temperatura terrestre	conductividad térmica
Geoquímico	emanación de vapores, asenso y descenso de soluciones	potenciales REDOX, conductividad eléctrica (s)



Métodos geofísicos

Applications	Geophysical Methods										
	Seismic		Electrical		Electromagnetic						
Refraction (6.1)	Reflection (6.2)	DC Resistivity (6.3)	SP (6.4)	Frequency Domain (6.5)	Time Domain (6.6)	VLF (6.7)	Pipe/Cable Locator (6.8)	Metal Detectors (6.9)	Ground Penetrating Radar (6.10)	Magetics (6.11)	Gravity (6.12)
Natural Geologic and Hydrologic Conditions											
Soil/unconsolidated layers	A	B	A	B	A	B			A		
Rock layers	B	A	B		B				B		
Depth to bedrock	A	A	B	B	B	B			A		
Depth to water table	A	A	B	B	B	B			A		
Fractures and fault zones	B	B	B	A	B	A			B	B	
Voids and sinkholes	B	B	B	B	B				A	A	
Soil and rock properties	A		A	B							
Dam and lagoon leakage			B	A	B					B	
Inorganic Contaminants											
Landfill leachate			A		A	A	B		B		
Saltwater intrusion			A		A	A	B		B		
Soil salinity			A		A						
Organic Contaminants											
Light, nonaqueous phase liquids			B		B	B			B		
Dissolved phase ^c											
Dense, nonaqueous phase liquids ^c											
Manmade Buried Objects											
Utilities				B			A	B	A		
Drums and USTs				A			A	A	A	A	
UXO							A	B	A		
Abandoned wells				B			B	B		A	
Landfill and trench boundaries	B		B	A	B				A		
Forensics			B	A			B	B	A	B	
Archaeological features	B	B	B	A					A	B	

^a"A" implies primary choice of method.

^b"B" implies secondary choice or alternate method.

^cAlso see natural geologic and hydrologic conditions to characterize contaminant pathways.

(ASTM D6429 – Tabla 1)

Propagación de ondas mecánicas

Energía de cada tipo de onda:

$$P = 7\%, S = 26\%, R = 67\%$$

Deformación elástica ($\gamma < 10^{-6}$)

- Ondas de cuerpo (medios infinitos)

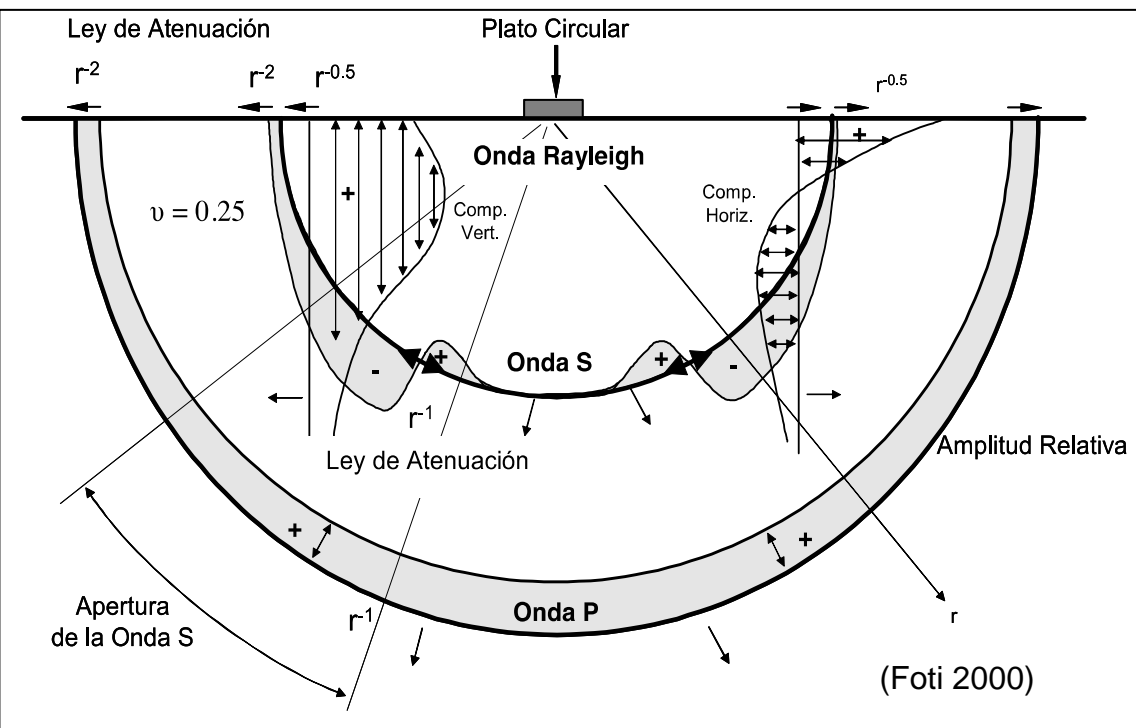
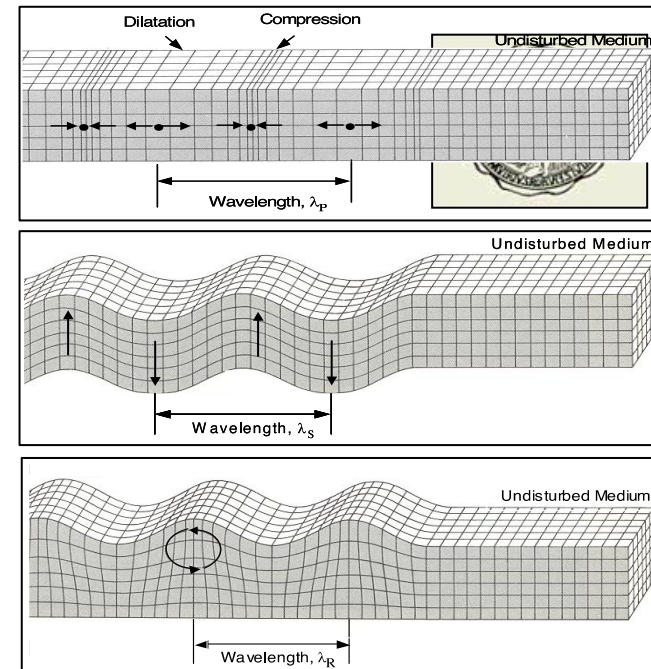
$$- V_s = \sqrt{G/\rho}$$

$$- V_p = V_s \sqrt{\frac{2-2\nu}{1-2\nu}}$$

- Ondas de superficie

$$- V_R \cong 0.9V_s$$

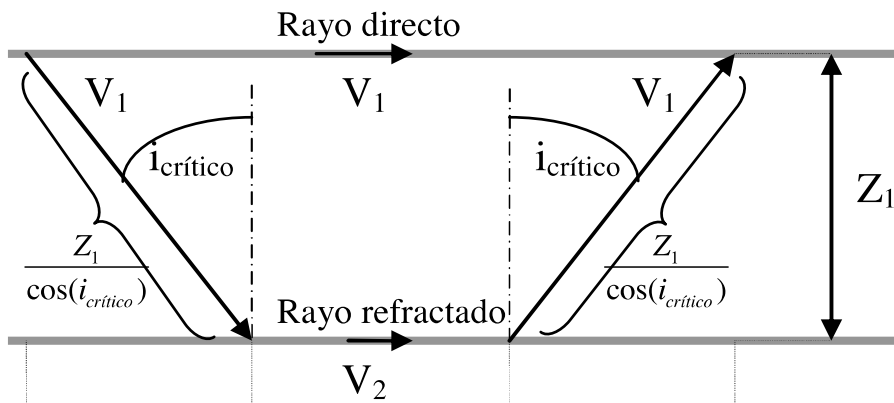
$$- V_L$$



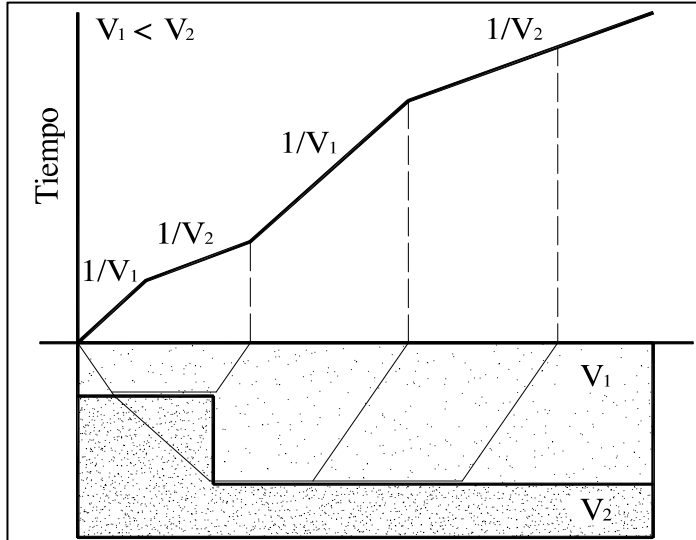
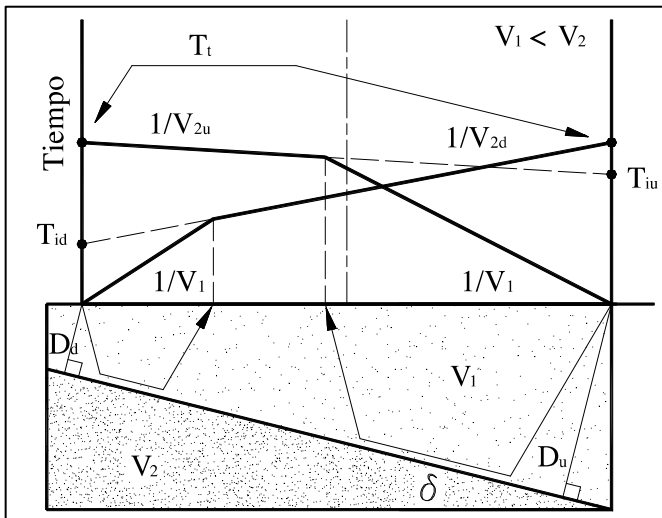
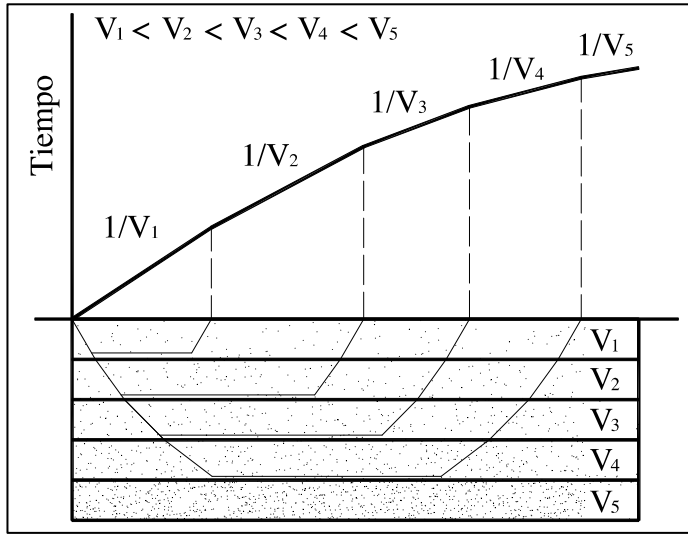
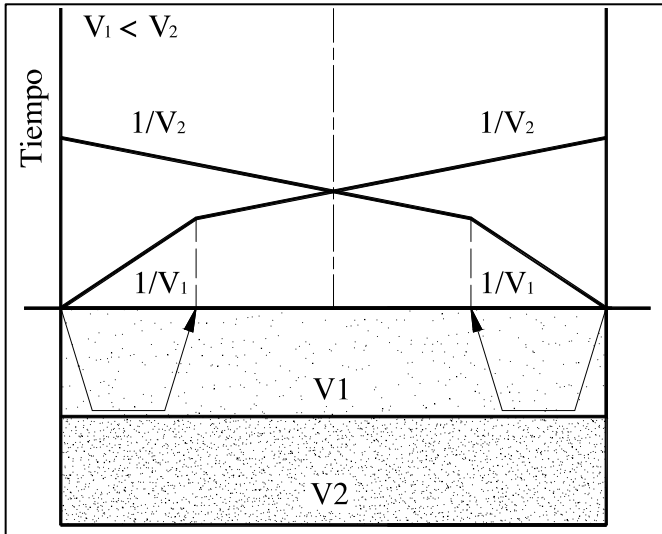
Sísmica de refracción (ondas P)

Se basa en el tiempo de arribo de ondas P (las más rápidas)

- Detectar estratos de rigidez creciente con profundidad
 - Posición
 - Inclinación
- Estimar módulo de Young

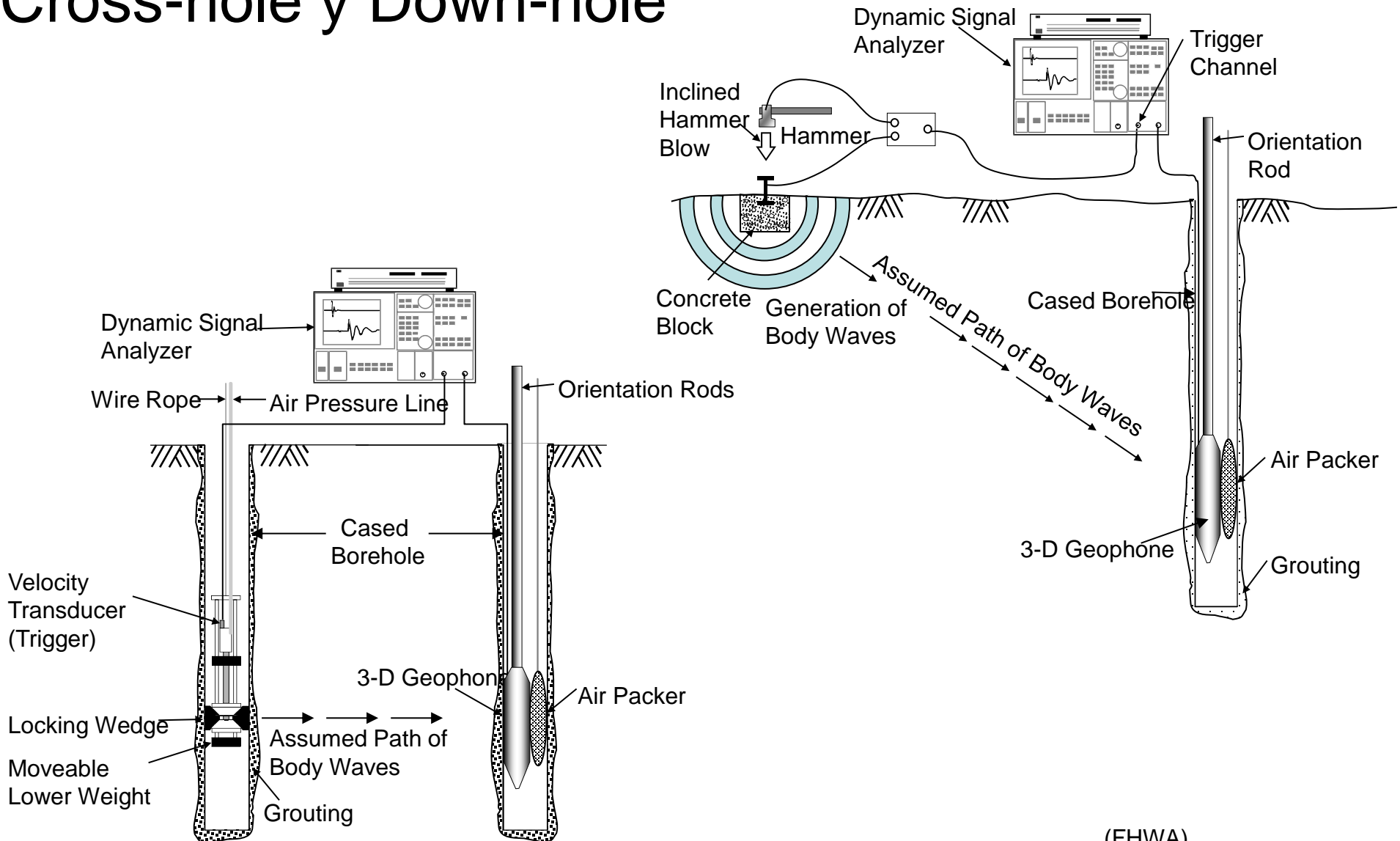


Sísmica de refracción: interpretación



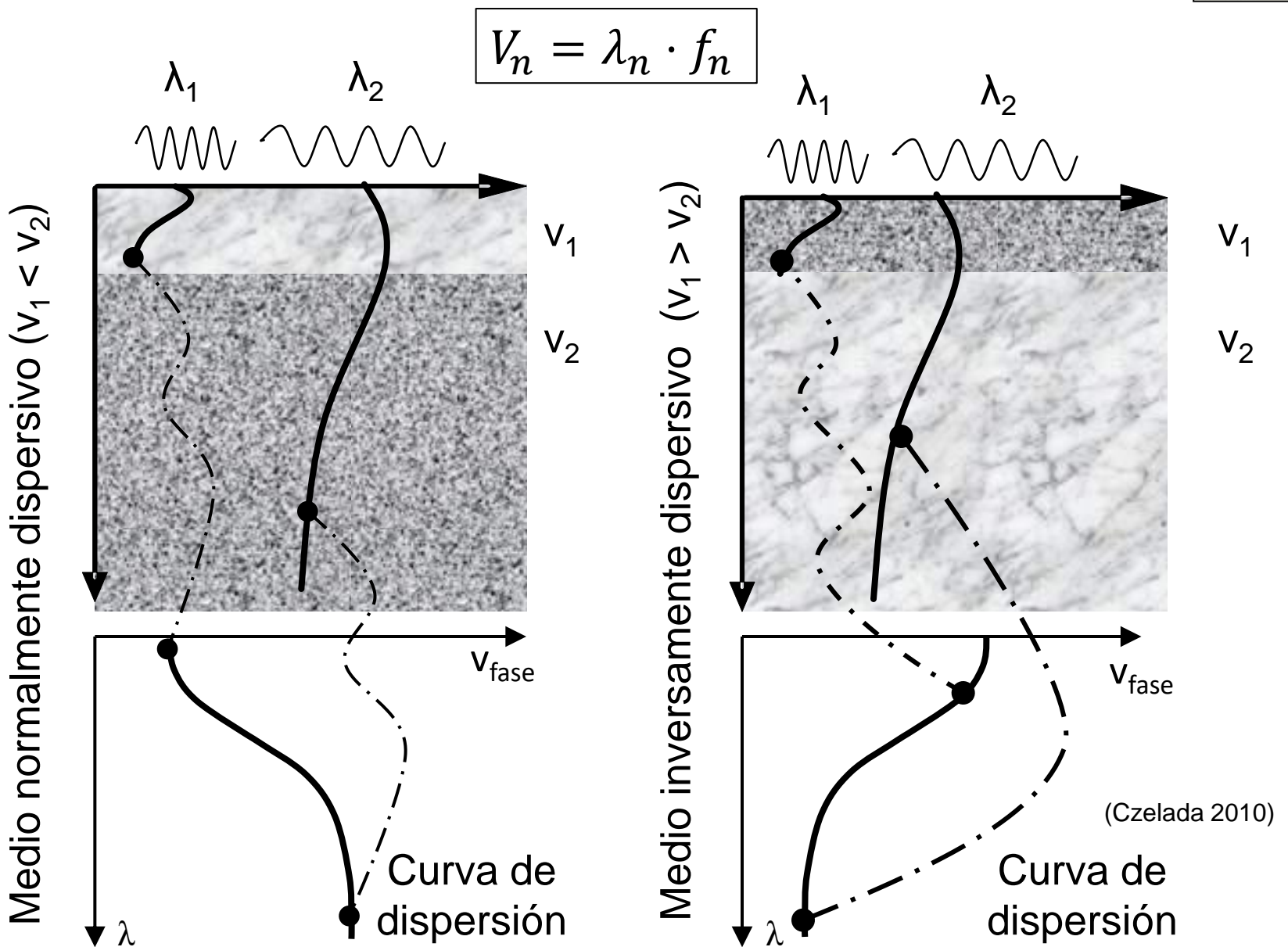


Ensayos en perforaciones Cross-hole y Down-hole



(FHWA)

Ensayos de dispersión (SASW | MASW)

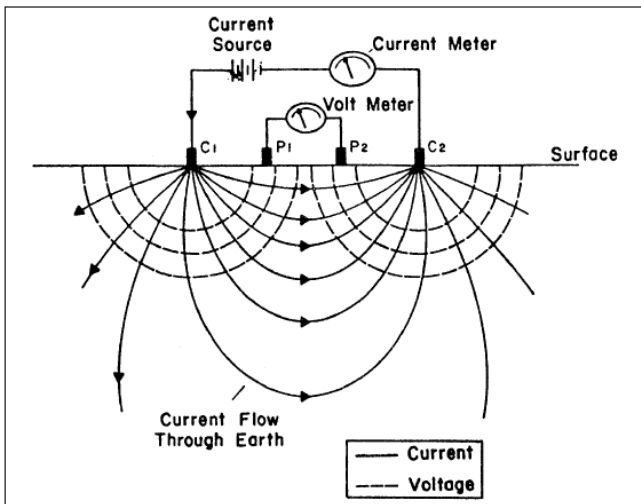




Geoeléctrica

Mide diferencias de resistividad de los sustratos que atraviesa

- Alcanza una profundidad media (~100 m)
- Permite detectar fluidos de diferente salinidad y horizonte de saturación

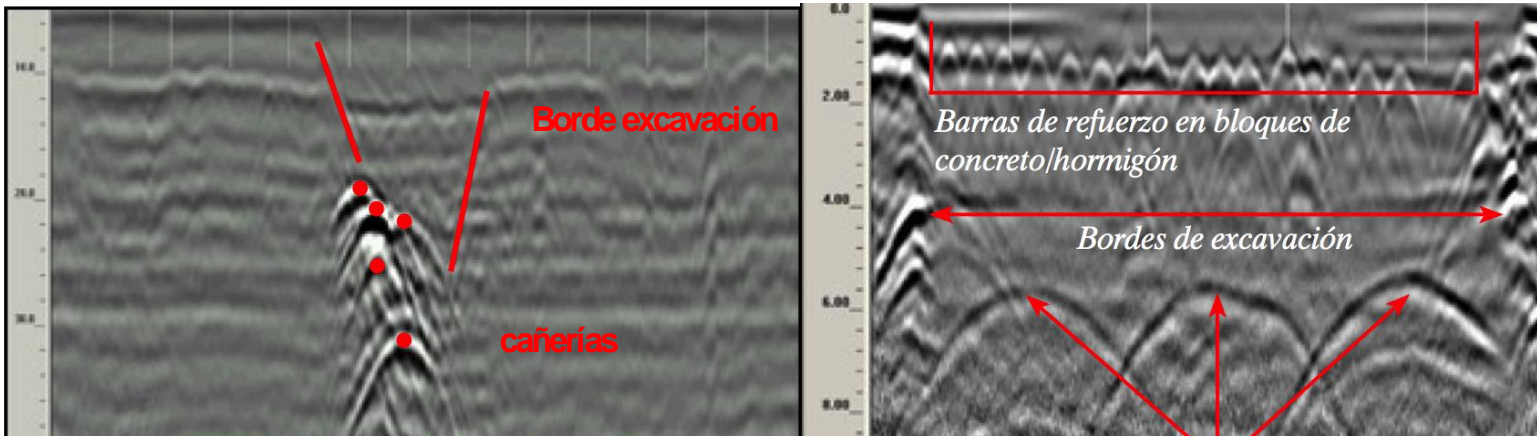




Georadar (GPR)

Se basa en propagación de ondas electromagnéticas

- Detección de oquedades, objetos enterrados
- Detección de armaduras en elementos estructurales
- Perfiles geológico-geotécnicos
- Posición nivel freático
- Fracturas o grietas en macizos



Resumen



- Saber la metodología de ejecución de cada ensayo
- Saber los recursos asignados (\$\$\$) de cada ensayo
- Saber que parámetros se determinan en cada ensayo
- El uso de correlaciones debe efectuarse con cuidado
- La combinación de varios ensayos mejora la descripción general de un perfil geotécnico



Bibliografía

Básica

- Kulhawy & Mayne. Manual on estimating soil properties for foundation design. EPRI (fuente de figuras)

Complementaria

- FHWA (2001). Manual on subsurface investigations. NHI-01-031.
- FHWA (2006). Soils and Foundations I y II. NHI-06-088
- USACE (2001). Geotechnical Investigations. EM 1110-1-1804